



Talga

Bärighetsberäkning av Bro över Torne Älv vid Jölketurkkio, 9 km Väst Vittangi (Nunisvaaravägen)

2019-09-06

Stockholm

Bärighetsberäkning av bro över Torne Älv vid Jölketurkkio, 9 km Väst Vittangi (Nunisvaaravägen)

Datum 2019-09-06
Uppdragsnummer 1320043470
Utgåva/Status 4

Tony Janhunen
Uppdragsledare

Patrick Parneus
Handläggare

Mudaher Ajeenah
Granskare

Ramböll Sverige AB
Box 17009, Krukmakargatan 21
104 62 Stockholm

Telefon 010-615 60 00
Fax 010-615 20 00
www.ramboll.se

Unr Organisationsnummer 556133-0506

Innehållsförteckning

1.	Sammanställning	1
2.	Allmänt	2
3.	Beräkningsmodell	5
4.	Beräkningsunderlag och material.....	6
5.	Säkerhetsklasser, laster och lastkombinationer	8
6.	Systemskisser	11
7.	Konvergensanalys	14
8.	Snittkrafter huvudbalkar	17
9.	Snittkrafter plattan	23
9.1	Längdled	23
9.2	Tvärled	26
10.	Bärighetsberäkning LKA för huvudbalkar	31
10.1	Armering och längdmätning.....	31
10.2	Förankringslängder.....	32
10.3	Armeringsmängd.....	32
10.4	Moment, eget körfält	36
10.5	Tvärkraft och vridmoment, eget körfält.....	38
10.6	Medverkande flänsbredd	44
10.7	Sammanställning av resultat, huvudbalk	49
11.	Bärighetsberäkning LKA för plattan	50
11.1	Armering och längdmätning.....	50
11.2	Förankringslängd	50
11.3	Armeringsmängd.....	50
11.4	Moment i längdled, eget körfält.....	54
11.5	Moment i tvärled, eget körfält.....	55
11.6	Tvärkraft i tvärled	64
11.7	Sammanställning av resultat, platta	74
12.	Beräkning av nedböjning LKC:b.....	75

Bilaga 1	Indatafiler Sofistik
Bilaga 2	Numeriska snittkrafter, huvudbalk
Bilaga 3	Beräkningar, huvudbalk
Bilaga 4	Numeriska snittkrafter, platta längdled
Bilaga 5	Verifiering av systemmodell
Bilaga 6	Numeriska snittkrafter, nedböjning

1. Sammanställning

Resultatet av bärighetsberäkningen visar att bro över Torne Älv's överbyggnad har en bärighet för följande trafiklaster:

Eget körfält: A/B = 496/344 kN

Sammanställning av resultatet för LKA bärighetsberäkning för bro över Torne Älv presenteras i tabellerna nedan.

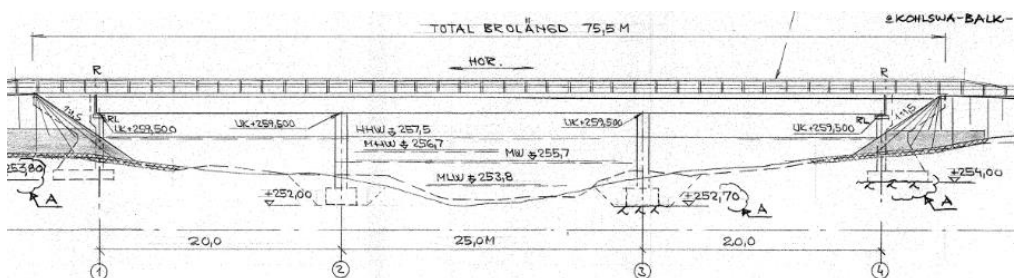
LKA passage i eget körfält		
Konstruktionsdel	A (kN)	B (kN)
Huvudbalk moment underkant	2037	882
Huvudbalk moment överkant	1179	344
Huvudbalk tvärkraft	704	386
Huvudbalk Vridmoment	709	381
Platta längdled moment underkant	743	687
Platta längdled moment överkant	678	789
Platta tvärled moment underkant	700	680
Platta tvärled moment överkant	687	766
Platta tvärled tvärkraft	496	564
Dimensionerade värden	496	344

2. Allmänt

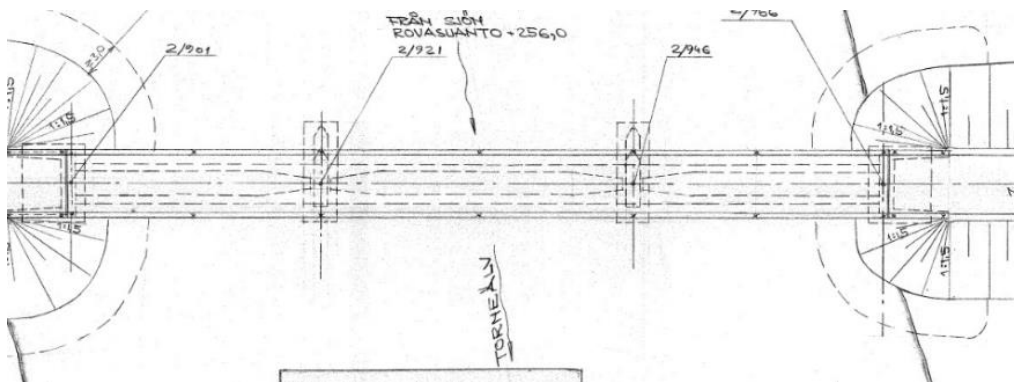
Ramboll Sverige AB har fått i uppdrag av Talga Resources att för rubricerad bro utföra en bärighetsutredning, enligt Trafikverkets standarder TDOK 2013:0267, Krav bärighetsutredning av broar samt 2013:0273, Råd bärighetsutredning av broar.

Vägbron utgör en kontinuerlig balkbro i betong med tre spann som går över Torne Älv. Överbyggnaden består av två huvudbalkar med farbaneplatta som går kontinuerligt över mellanstöden och ansluter ledat till de två landfästena på södra respektive norra sidan. Mellanstöden består av två rektangulära skivstöd med plattgrundläggning.

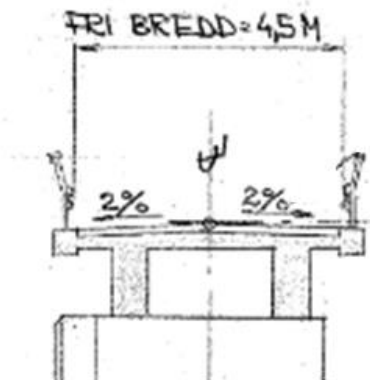
Bron har en total konstruktionslängd på 65 m mellan upplagen vid landfästena och har en fri brobredd på 4,5 m. Bron är enkelsymmetrisk i elevation där spänvidden för mittenspannet är 25 m och ytterspannen 20 m.



Figur 1 Elevation, urklipp från ritning 2.

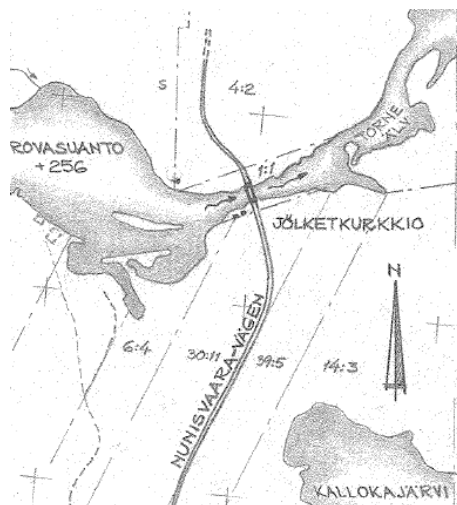


Figur 2 Plan, urklipp från ritning 1.



Figur 3 Sektion, urklipp från ritning 1.

Bron är byggd omkring år 1982-1983 och är belägen över Torne Älv vid Jölketurkkio på Nunisvaaravägen 9 km väst om Vittang.



Figur 4 Situationsplan, urklipp från ritning 1.

Den bärande konstruktionen förutsätts att vara i oskadat skick enligt en inspekionsrapport utförd av Ramboll Sverige AB, 2019-07-30, *Bro över Torne Älv vid Jöketurkkio, 9 km Väst Vittangi (Nunisvaaravägen)*.



Figur 5 Vy bild, urklipp från inspektronsrapporten.



Figur 6 Skivstöd, urklipp från inspektronsrapporten.



Figur 7 Huvudbalkarnas voter mot stöd, urklipp från inspektronsrapporten.

3. Beräkningsmodell

Följande beräkningsprogram kommer att användas i bärighetsberäkningen.

- Sofistik 2018
- Mathcad och Excel för beräkning av kapaciteter.
- 2D analys utförs i Frame Analysis 6.4, för kontroll och verifiering av snittkrafter beräknade i Sofistik.

Beräkningarna baseras på oskadad bro med trafik i eget körfält, vägbanemitt blir inkluderat i eget körfält då enbart ett körfält får plats på bron. Militära fordon beräknas ej.

Beräkningsmodellerna är uppdelade i tre stycken enligt följande:

- 1) Huvudbalkar – Orthotrop platta med längsgående dynamiskt tillskott
- 2) Platta längdled – Isotropisk platta med längsgående dynamiskt tillskott
- 3) Platta tvärled – Isotropisk platta med tvärgående dynamiskt tillskott

Dimensionerande snittkrafter för de olika beräkningsmodellerna enligt följande:

- 1) Huvudbalkar – Moment, tvärkraft och vridmoment.
- 2) Platta längdled - Moment och vridmoment.
- 3) Platta tvärled – Moment, tvärkraft och vridmoment.

Nedböjning beräknas för överbyggnaden.

Bärighetsberäkning utförs genom att högsta tillåtna A/B-värde kommer att beräknas. Endast överbyggnaden kommer att beaktas i kapacitetsberäkningen.

Överbyggnaden är modellerad som rak och skivstöden som vinkelräta mot bronsfärdriktning. De två huvudbalkarna är modellerade som balkelement med monolitisk koppling till plattan och går kontinuerligt över skivstöden. Plattan är modellerad som isotropisk skalelement. Mot skivstöden är balkarna modellerade med voter, se Figur 13. Balkparet delar samma geometri och armeringsmängd, armeringsmängden skiljer sig dock mellan ytterspann och innerspann. Kantbalkarna räknas som statiskt överksamma enligt [1] avsnitt 4.1.2.7.2.

4. Beräkningsunderlag och material

Bärighetsberäkningen kommer att baseras på nedanstående föreskrifter och underlag:

- [1] TDOC 2013:0267 "Bärighetsberäkning av broar krav, version 4.0"
- [2] TDOC 2013:0273 "Bärighetsberäkning av broar, råd version 4.0"
- [3] Betonghandboken Konstruktion
- [4] Boverkets handbok om betongkonstruktioner, BBK 04

Den ursprungliga bron är dimensionerad enligt 1960 års bestämmelser (SOU 196:12) samt provisoriska trafikbestämmelser för vägbroar (TB 124) och VV bronormer 1976

Nedan redovisas de materialparametrar som kommer att användas i beräkningarna. Kapacitetsberäkningarna kommer att utföras i säkerhetsklass 3 för huvudbalkarna och säkerhetsklass 2 för plattan enligt [1] avsnitt 1.1.6.

Betong:

Enligt ritningar gäller betonghållfastheten K400 vilket motsvarar K40. För broar byggda före 1986 justeras f_{cck} -värdet enligt ekvation $f_{cck,just} = 1.15 * f_{cck} - 2$ från [1] avsnitt 1.3.2.1.2 ekvation 1-1.

$$f_{cck} = 28.5 \text{ MPa}$$

$$f_{cck,just} = 1.15 * 28.5 - 2 = 30.775 \text{ MPa}$$

$$\text{Tryckhållfasthet platta: } f_{ccd,SK2} = \frac{30.775}{1.5 \cdot 1.1} = 18.7 \text{ MPa}$$

$$\text{Tryckhållfasthet huvudbalk: } f_{ccd,SK3} = \frac{30.775}{1.5 \cdot 1.2} = 17.1 \text{ MPa}$$

$f_{cck,just} = 30.755 \text{ MPa}$ motsvarar ett $K_{cck,just} = 43.2 \text{ MPa}$. Tryckhållfasthetsvärdet och draghållfasthetsvärdet beräknas genom ett linjärt samband mellan K-värdena.

$$f_{ctk}^{f_{cck}=28.5 \text{ MPa}} = 1.95 \text{ MPa} \quad f_{ctk}^{f_{cck}=32 \text{ MPa}} = 2.1 \text{ MPa}$$

$$f_{ctk,just}^{K43.2} = 1.95 + \frac{(30.755 - 28.5)}{(32 - 28.5)} * (2.1 - 1.95) = 2.05 \text{ MPa}$$

$$\text{Draghållfasthet platta: } f_{ctd,SK2}^{K43.2} = \frac{2.05}{1.5 \cdot 1.1} = 1.24 \text{ MPa}$$

$$\text{Draghållfasthet huvudbalk: } f_{ctd,SK3}^{K43.2} = \frac{2.05}{1.5 \cdot 1.2} = 1.14 \text{ MPa}$$

På samma sätt beräknas elasticitetsmodulen och resulterar i följande värde:
 $E_{ck}^{K43.2} = 34.56 \text{ GPa}$

Elasticitetsmodulen platta: $E_{cd}^{K43.2} = \frac{34.56}{1.2 \cdot 1.1} = 26.2 \text{ GPa}$

Elasticitetsmodulen huvudbalk: $E_{cd}^{K43.2} = \frac{34.56}{1.2 \cdot 1.2} = 24 \text{ GPa}$

Armering:

Enligt ritningar har armering av kvalité Ks 40 och Ks 60 används. Armering i överbyggnaden har antingen en diameter på (12) eller 16 mm. Nedan visas en tabell för de beräknade materialparametrar.

MATERIALVÄRDERING AV ARMERING						
TDOK 2013:0267 version 4.0 [1]						
BBK 04 [2]						
Partialkoefficient [2] 2.3.1						
ηY_m .hållfasthet	1,15			$f_d = \frac{f_k}{\eta Y_m Y_n}$		ekv. (a)
ηY_m .elasticitetsmodul	1,05			$E_d = \frac{E_k}{\eta Y_m Y_n}$		ekv. (b)
Dimensionerande hållfasthetsvärden						
[2] 2.3.1 ekv (a) samt (b)						
Armering	E_{sk} [GPa]	Säkerhetsklass	γ_n	f_{yk} [MPa]	f_{yd} [MPa]	E_{sd} [GPa]
Ks 40, Ks 40 S, 6-16	200	2	1,1	410	324,1	173,2
Ks 40, Ks 40 S, 6-16	200	3	1,2	410	297,1	158,7
Ks 60, Ks 60 S, 6-16	200	2	1,1	620	490,1	173,2
Ks 60, Ks 60 S, 6-16	200	3	1,2	620	449,3	158,7

Tabell 1 Materialparameterar för armering i överbyggnaden.

Täckande betongskikt överbyggnaden:

Täckande betongskikt för huvudbalkarna och plattan är minst 30 mm, enligt ritning 8.

5. Säkerhetsklasser, laster och lastkombinationer

Beräkningarna utförs i lastkombination LK A (brottstadium) och LKB:c för beräkning av nedböjning.

Nedanstående laster kommer att beaktas i beräkningarna:

- Egentyngd
- Beläggning
- Broms
- Typfordon a-i och m-n, enligt bilaga 10.2 i [1].

Temperaturer tas ej i bejakelse då bron ej har signifikanta effekter (varken för utmattning eller andra ordningens effekt som kan uppkomma med fastgjutna pelarstöd eller pelarstöd med fasta lager). Rotationskapaciteten anses inte påverkas av temperaturen då inga större sprickor har identifierats under bruksgränstillståndet och det statiska systemet blir ej påverkat m.h.t. duktiliteten. Enligt [1] avsnitt 2.5.2.

Egentyngd

Last av egentyngd för överbyggnaden genereras automatiskt av Sofistik baserat på givna geometrier och tunghet för huvudbalkar, platta och skivstöd.

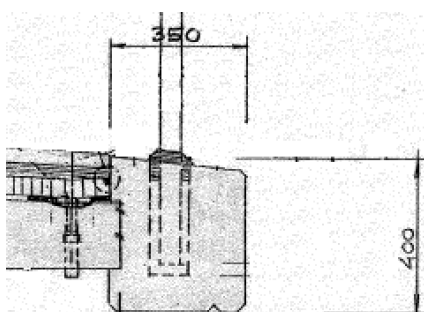
Egentyngden blir verifierade av en masskontroll i Bilaga 5.

Tunghet för armerad betong är enligt [1] tabell 2-1.

$$q = 24 \text{ kN/m}^3$$

I systemmodellen kommer kantbalkar modelleras med en fiktiv densitet för att inkludera räckets vikt i kantbalkens geometri.

Kantbalken har måtten $b = 0.35 \text{ m}$ och $h = 0.4 \text{ m}$, se figuren nedan.



Figur 8 Mått kantbalk, justerad urklipp från ritningsnummer 4.

Last av räcke antas till 0.6 kN/m . Total vikt på kantbalkar inklusive räcke beräknas i ekvation nedan.

$$q = 0.35 \cdot 0.4 \cdot 24 + 0.6 = 3.96 \text{ kN/m}$$

Fiktiv densitet på kantbalkarna där vikt av räcke inkluderas med ovan angivna mått på kantbalkarna.

$$\rho = \frac{3.96}{0.35 \cdot 0.4} = 28.3 \text{ kN/m}^3$$

Beläggning

Enligt ritning 4 är beläggningstjockleken 135 mm.

Beläggningslasten är 22 kN/m³.

$$q = 0.135 \cdot 22 = 2.97 \text{ kN/m}^2$$

Broms

Konstruktionslängden uppgår till 65 m (beaktad brolängd i systemmodellen, se kapitel 6) vilket enligt [1] avsnitt 2.3.2.3.1 ger:

$$F_{broms} = 170 + \frac{(65-40)*(470-170)}{(170-40)} = 227.7 \text{ kN}$$

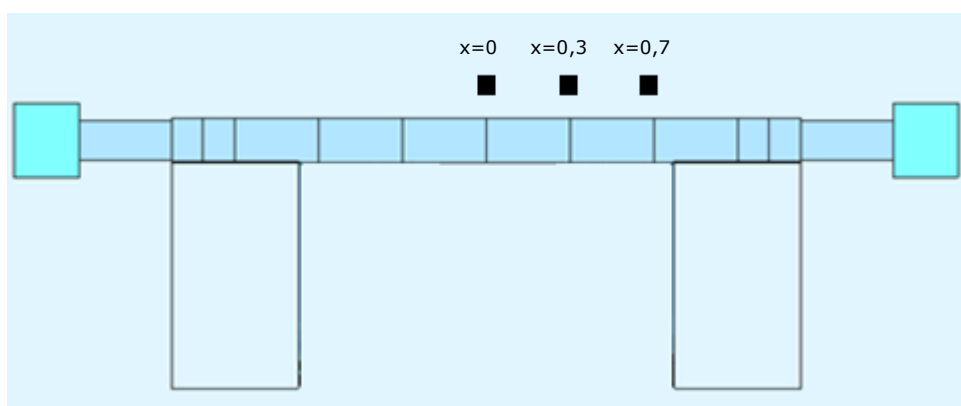
Typfordon

Körfälbsbredden är 3 m och två närliggande trafiklinjer kan endast trafikeras av typfordon om dess centrumavstånd är 3 m eller större. Med en brobredd på 4,5 meter resulterar de att endast ett körfält kan belastas på bron samtidigt.

Hjulavståndet inom en axel används 1,7 och 2,3 meter.

Trafik linjer

En trafiklinje placeras ut i mitten av bron (stakad linje) och två stycken längst ut mot kantbalken. På grund av symmetri i sektion behövs enbart en sida av stakad linje beaktas.



Dynamiskt tillskott

Dynamiskt tillskott beräknas enligt [1] avsnitt 2.3.2.2. Nedan beräknas dynamiskt tillskott i längdled, tvärled mellan balkarna och tvärled för plattans konsol. Dynamiskt tillskott får försummas vid beräkning av nedböjning (LKB:c) enligt [1] avsnitt 2.5.2.2.3, gäller broar dimensionerande för 1960 års vägtrafikbestämmelser och tidigare.

Längdled:

$$v = 80 \text{ km/h}$$

$$L = 1.3 * \frac{(20 + 25 + 20)}{3} = 28.2 \text{ m}$$

$$D_{Längdled} = \frac{180 + 8(80 - 10)}{20 + 28.2} = 15.4 \%$$

Tvärled mellan balkarna:

$$L = 2.8 \text{ m}$$

$$D_{Tvärled,1} = \frac{180 + 8(80 - 10)}{20 + 2.8} = 32.5 \%$$

Tvärled för plattans konsol:

$$L = 0.5 \text{ m}$$

$$D = \frac{180 + 8(80 - 10)}{20 + 0.5} = 36.1 \%$$

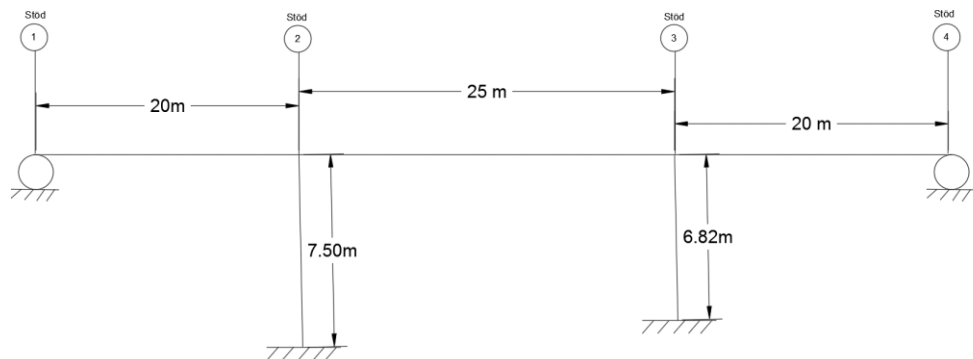
Dynamiskt tillskott begränsas maximalt till 35%. Vilket ger:

$$D_{Tvärled,2} = 35 \%$$

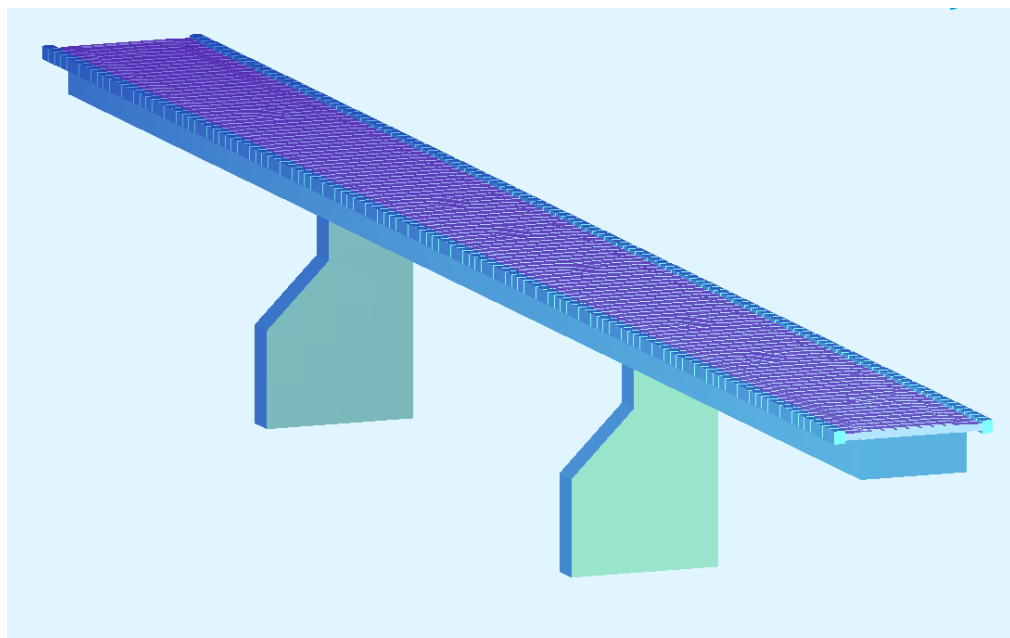
Enbart en modell beräknas för ett dynamiskt tillskott på 35%, vilket inkluderar konsol och mellan huvudbalkarna för tvärled.

6.**Systemskisser**

Bron modelleras med rullager vid landfästen och fast inspänd för skivstöden. Överbyggnaden är monolitisk kopplad till skivstöden. Nedan visas systemmodellen.

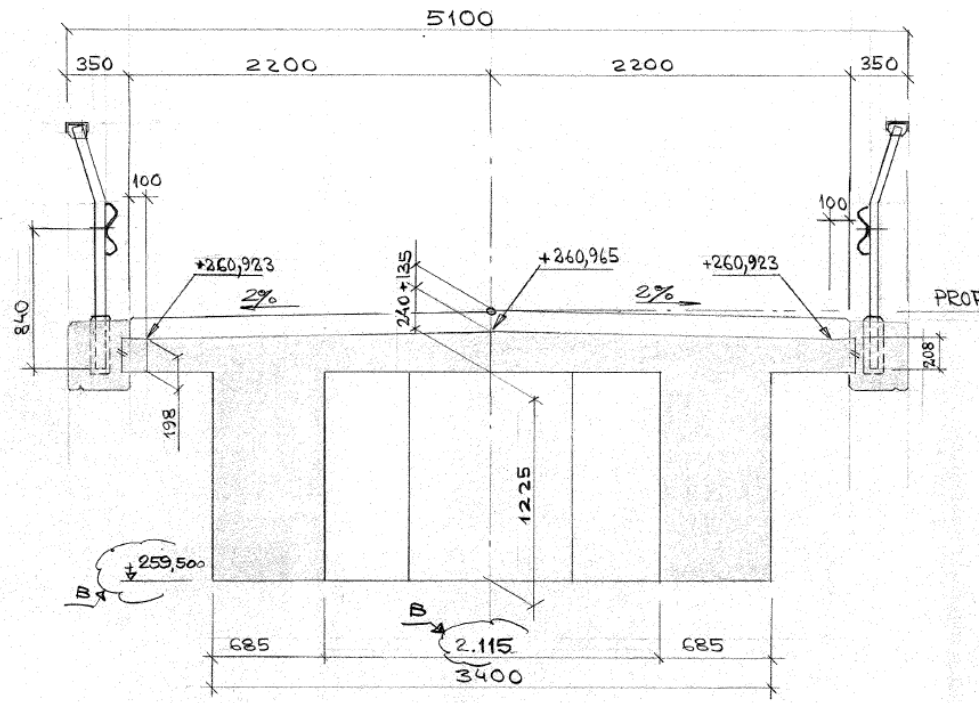


Figur 9 Systemmodell.

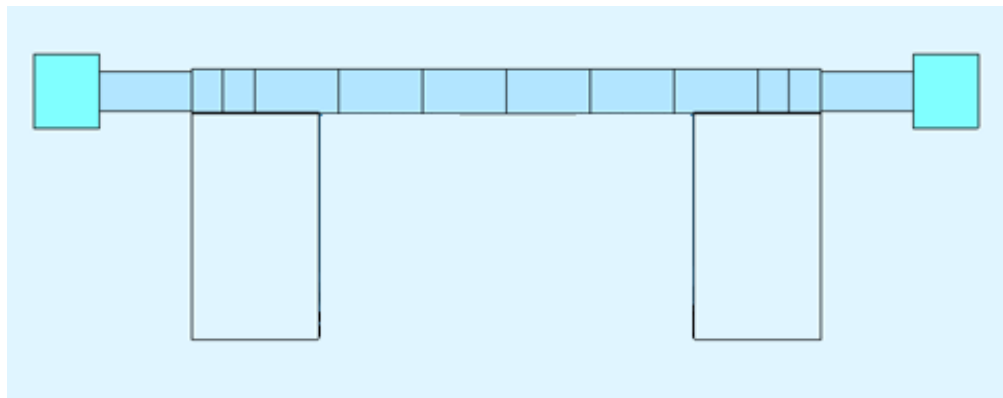


Figur 10 Bild på FE-modellen, urklipp från Sofistik.

Balkarna är modellerade som balkelement och plattan som isotropiska skalelement, koppling mellan balk och platta är monolitisk. Nedan visas sektionen i mått och hur den är modellerad i Sofistik.

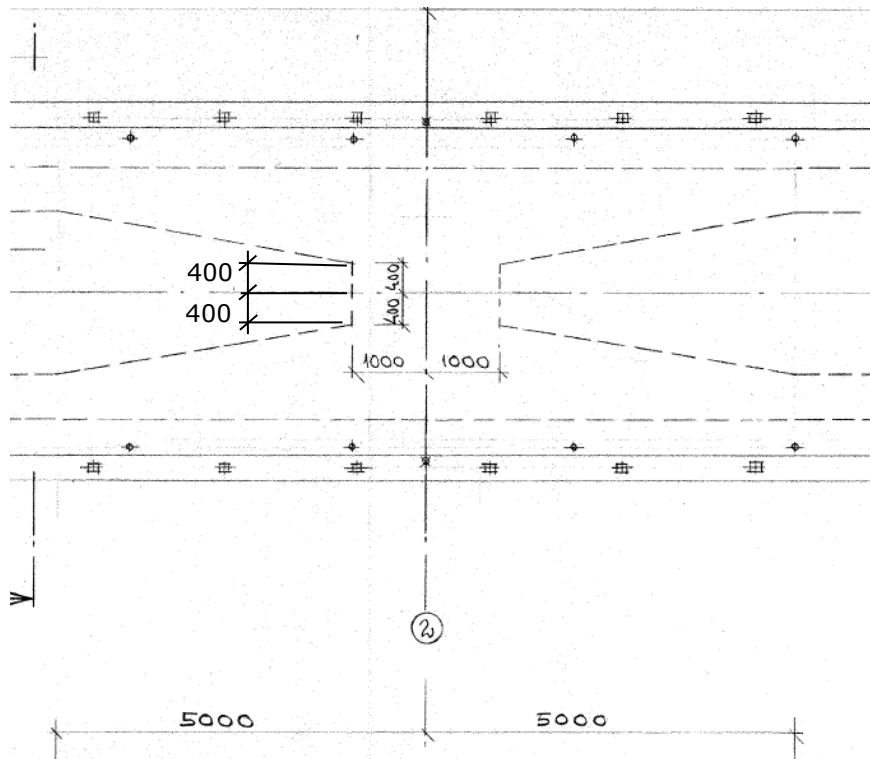


Figur 11 Section i mått, urklipp från ritning 4.

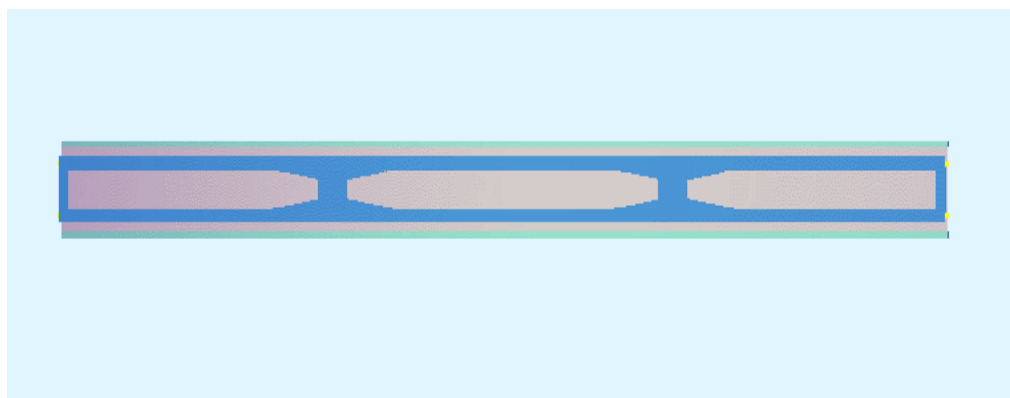


Figur 12 Section från FE-modellen, urklipp från Sofistik.

Huvudbalkarnas voter är modellerade enligt måttritningen, se bilden nedan.



Figur 13 Plan över huvudbalkarnas voter, urklipp från ritning 4.



Figur 14 Bild på voterna underifrån i FE-modellen, urklipp från Sofistik.

7. Konvergensanalys

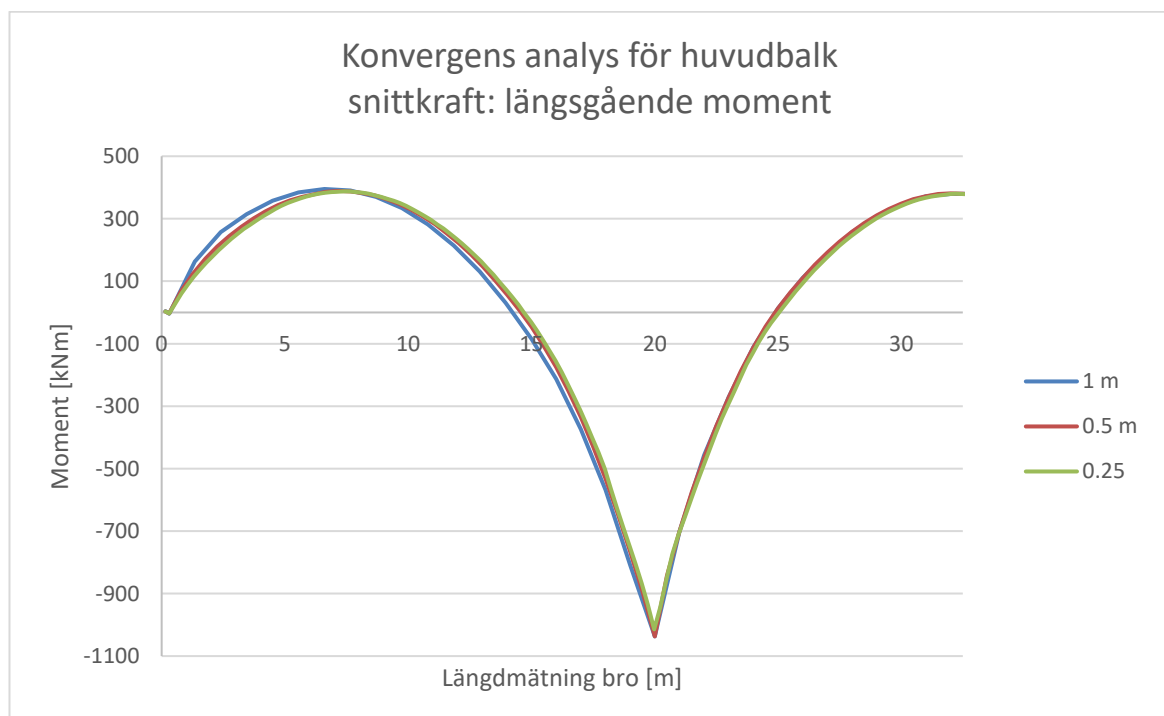
Syftet med en konvergensanalys är att bekräfta att FEM-nätets storlek inte påverkar resultat. Konvergensanalysen tillsammans med masskontrollen (se Bilaga 5) resulterar i att den använda modellen är tillförlitlig.

Konvergensanalysen utförs genom att jämföra olika storlekar för FEM-nätet där en nodlinje analyseras för snittkrafter för ett specifikt lastfall. Modellen når konvergens då differansen mellan FEM-nätets storlekar ger i en nod snittkrafter under en tillåten differans.

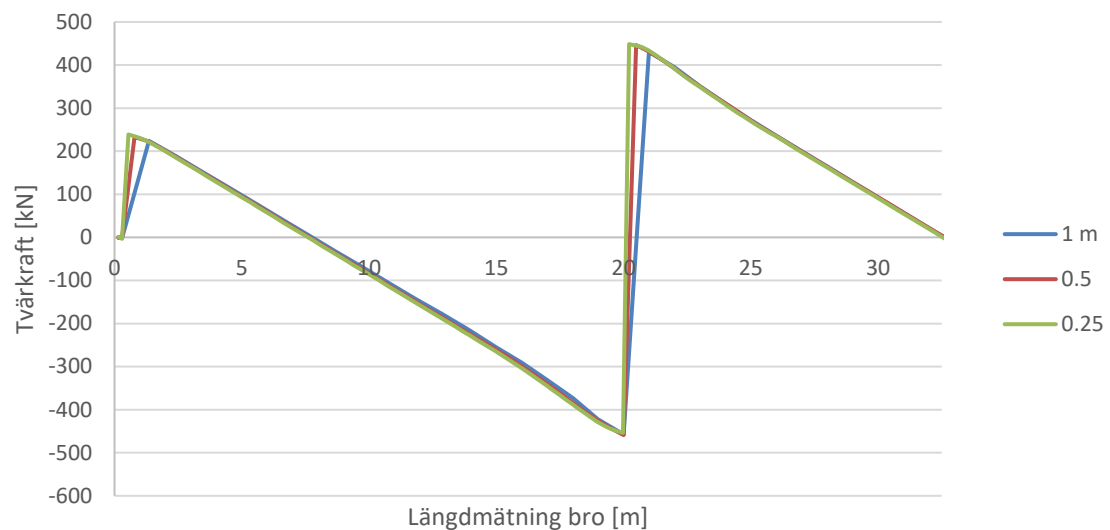
Lastfallet som används för konvergens analysen är egentyngd.

Snittkrafterna som jämförs för huvudbalkarna är moment och tvärkraft i längdled och för plattan är moment och tvärkraft i tvärled. Halva bron i längdled presenteras för att tydligare se konvergens.

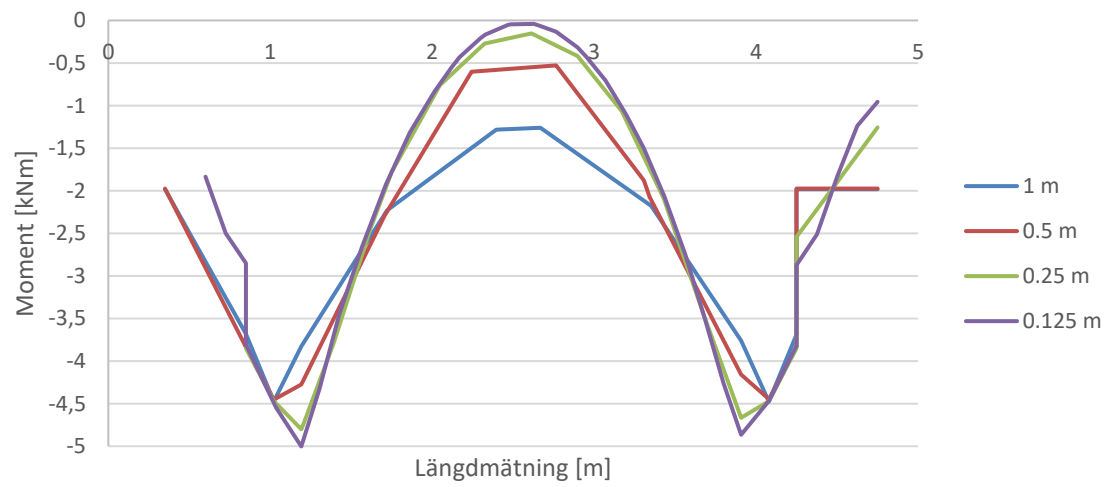
Konvergens analysen resulterade i en meshstorlek på 0.5 meter för modell i längdled och 0.25 meter för modell i tvärled.



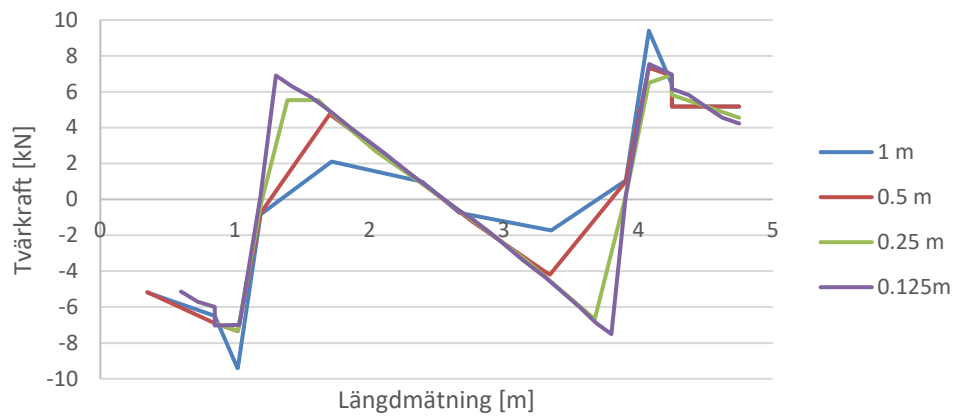
Konvergens analys för huvudbalk snittkraft: längsgående tvärkraft



Konvergens analys för platta snittkraft: tvärgående moment



Konvergens analys för plattan snittkraft: tvärgående tvärkraft



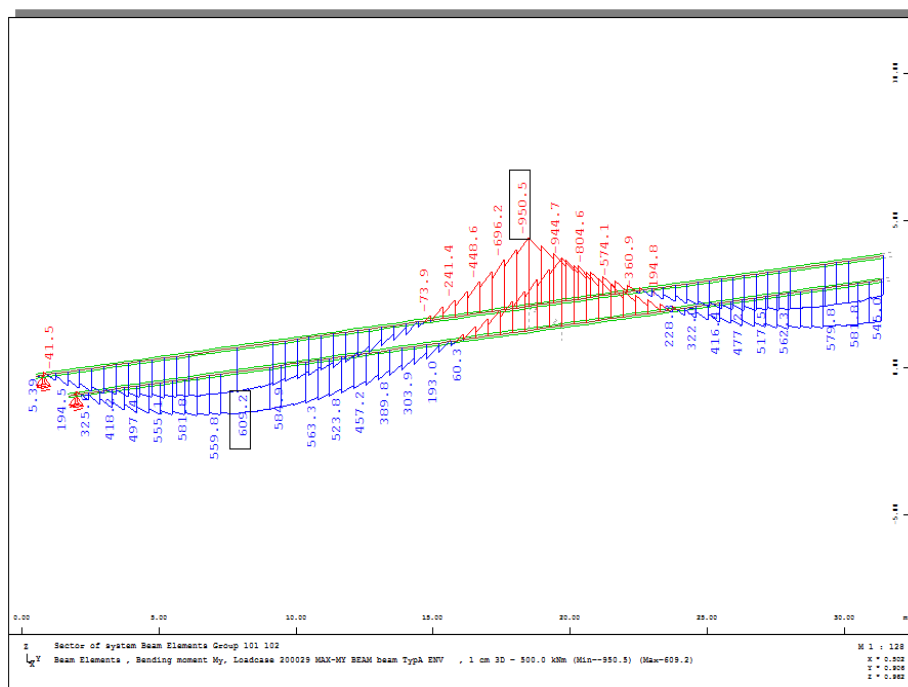
8. Snittkrafter huvudbalkar

Snittkrafter som beaktas för huvudbalkarna är moment, tvärkraft och vridmoment i längdled. Snittkrafter presenteras för halva bron då bron är i stort sätt symmetrisk (det som skiljer är stödhöjden). För själva presenteringen av snittkrafter används halva bron och vid beräkningen i LKA används de dimensionerade snittkrafterna längs hela bron.

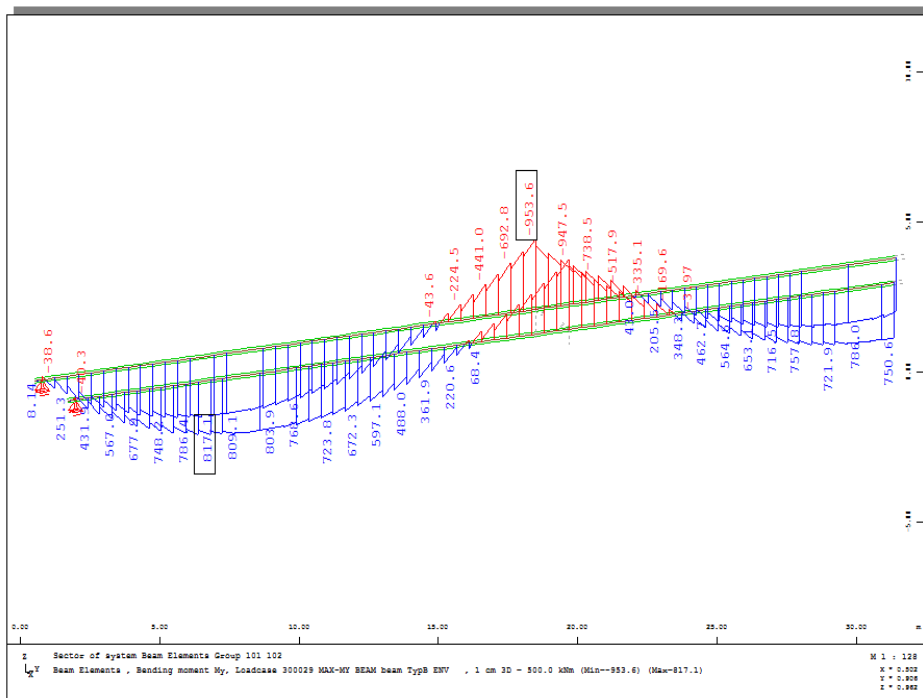
Snittkrafterna presenteras i nedan i följande ordning för A och B:

- Max längsgående moment
- Min längsgående moment
- Max tvärkraft
- Min tvärkraft
- Max vridmoment
- Min vridmoment

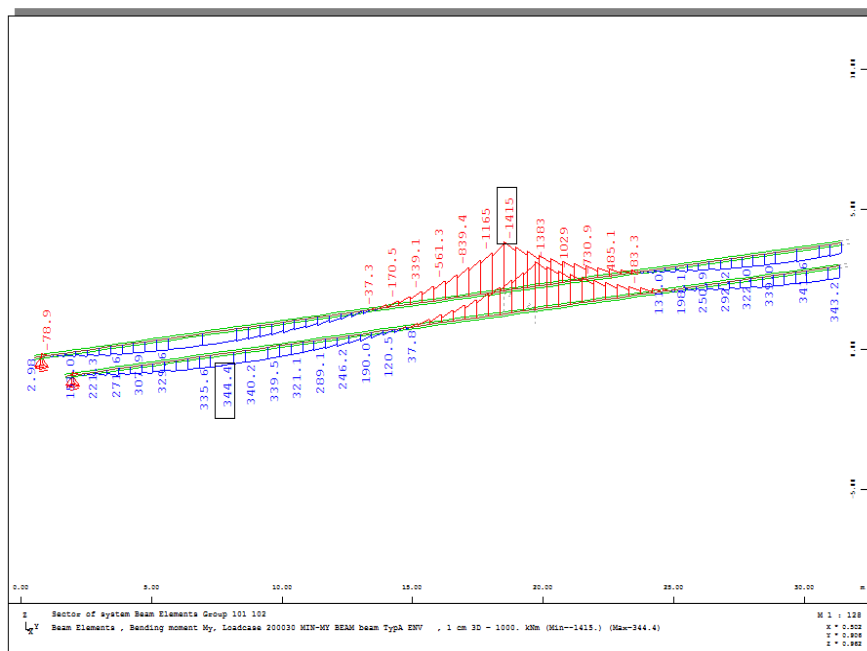
Max längsgående moment, typfordon A



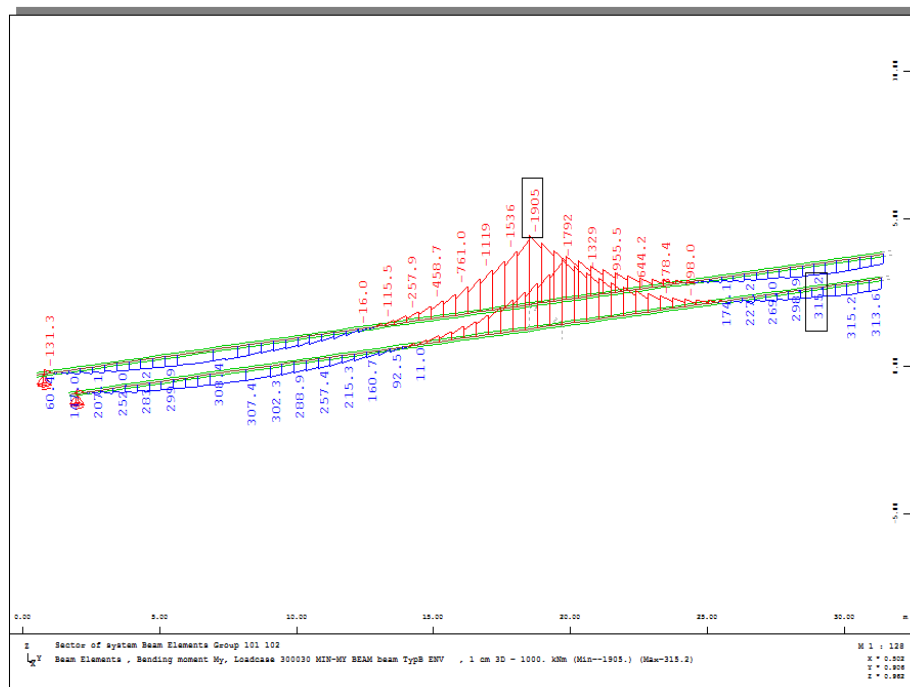
Max längsgående moment, typfordon B



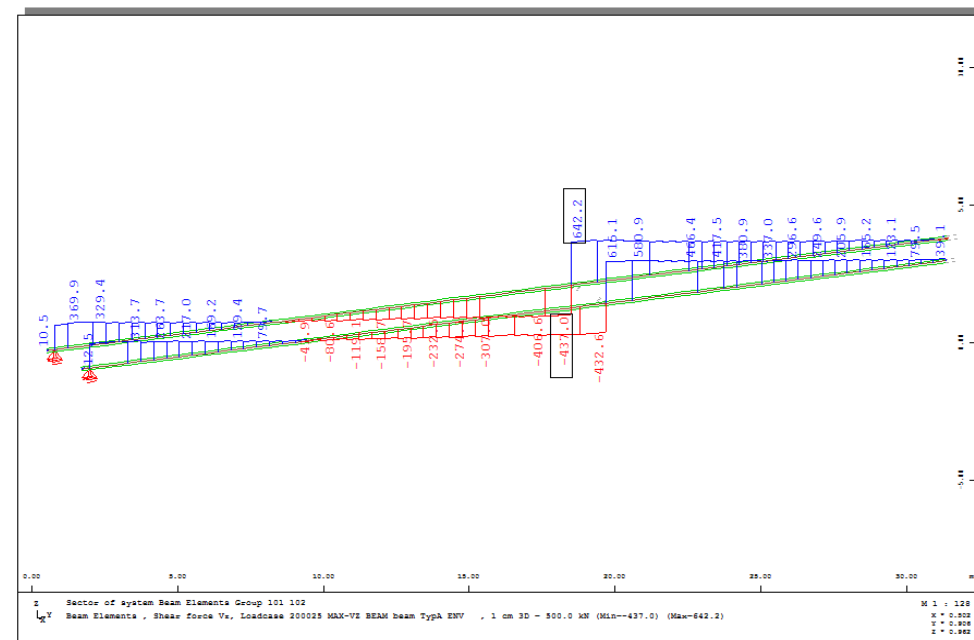
Min längsgående moment, typfordon A



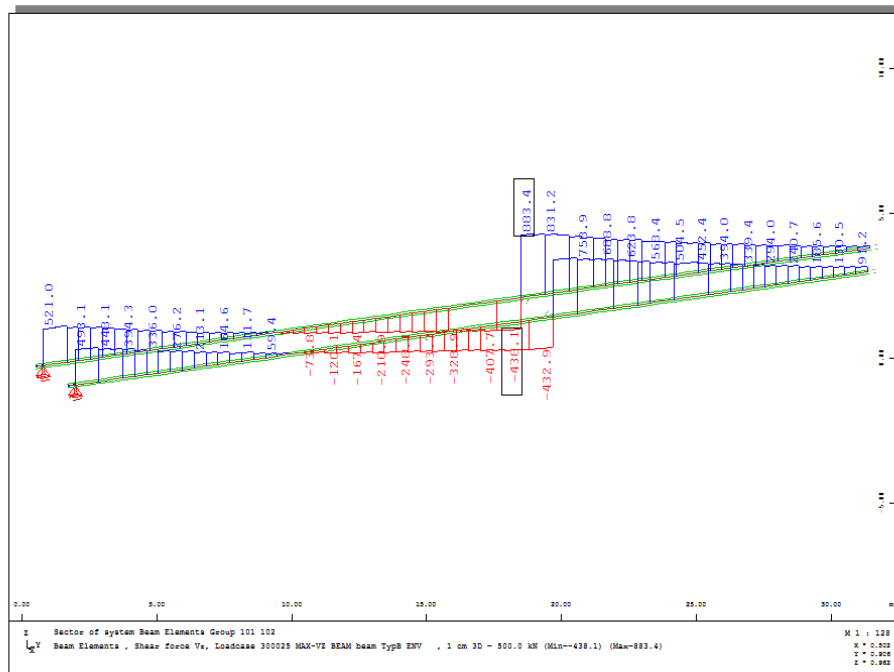
Min längsgående moment, typfordon B



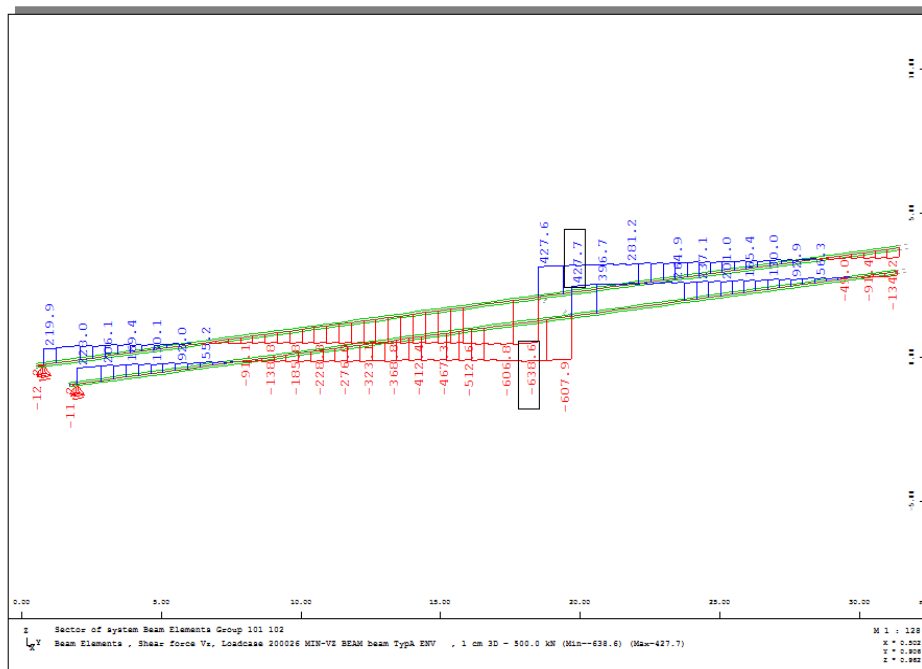
Max längsgående tvärkraft, typfordon A



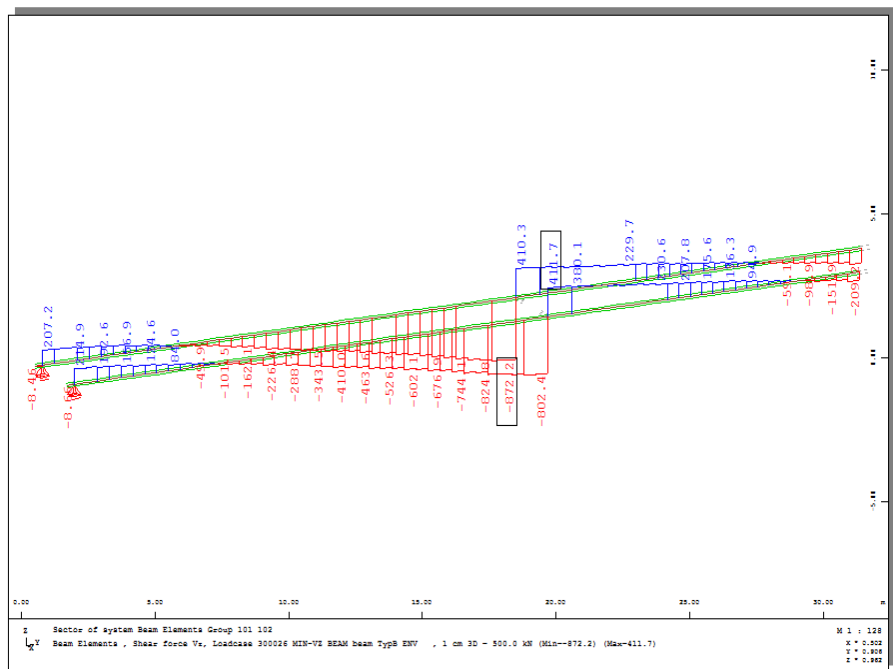
Max längsgående tvärkraft, typfordon B



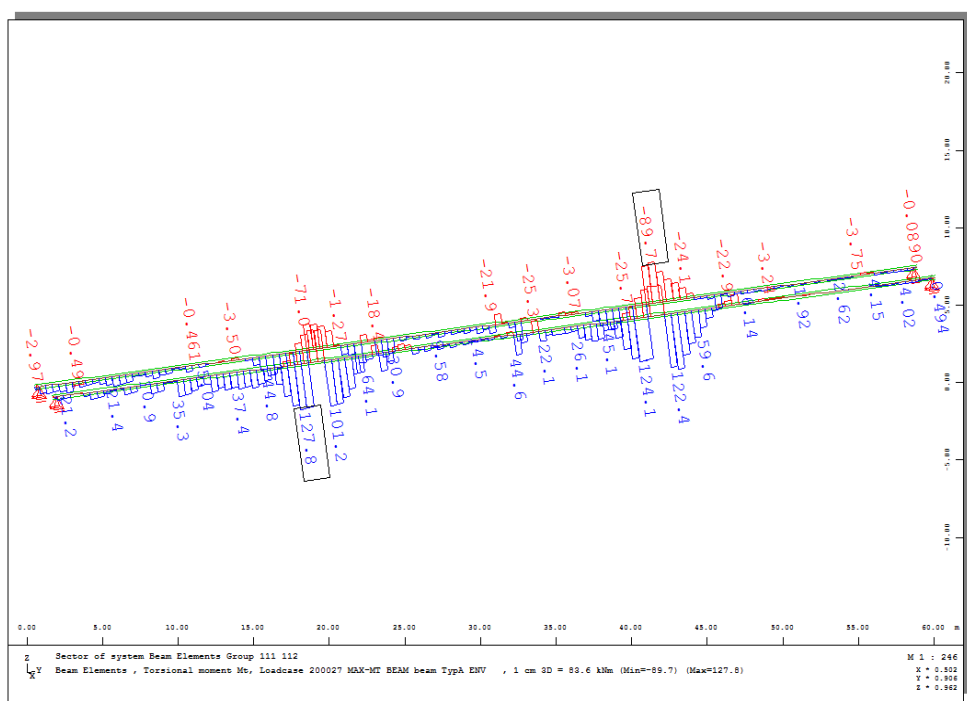
Min längsgående tvärkraft, typfordon A



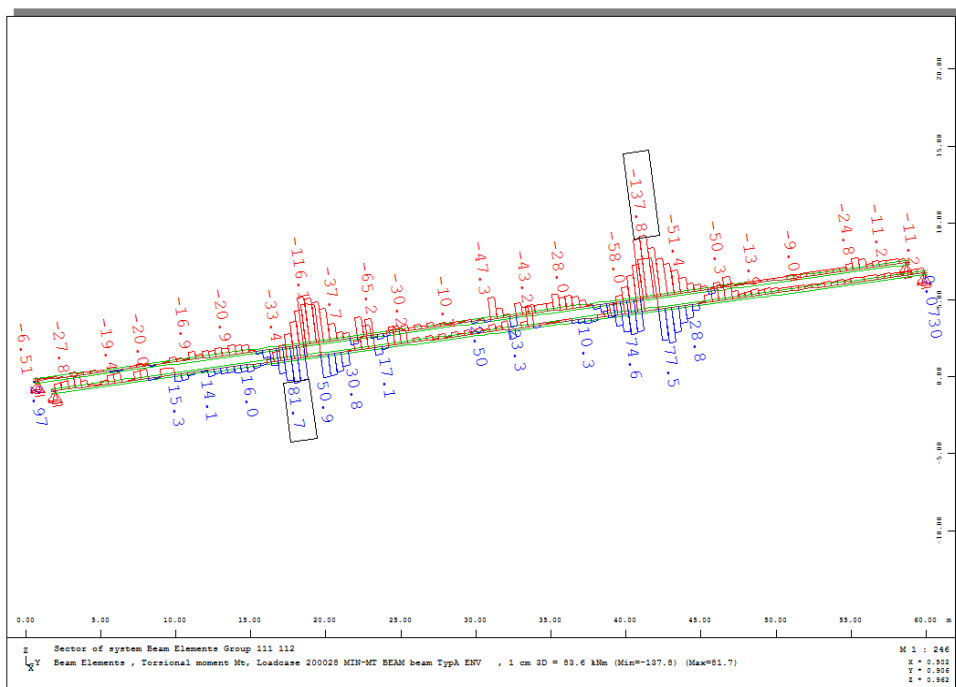
Min längsgående tvärförkraft, typfordon B



Max vriddmoment, typfordon A



Max vridmoment, typfordon B



9. Snittkrafter plattan

Snittkrafter som beaktas för plattan är moment, vridmoment och tvärkraft i tvärled. Moment och vridmoment i längdled. Snitten kan variera för typ av snittkraft, likväld som snittkrafter kan dela snitt.

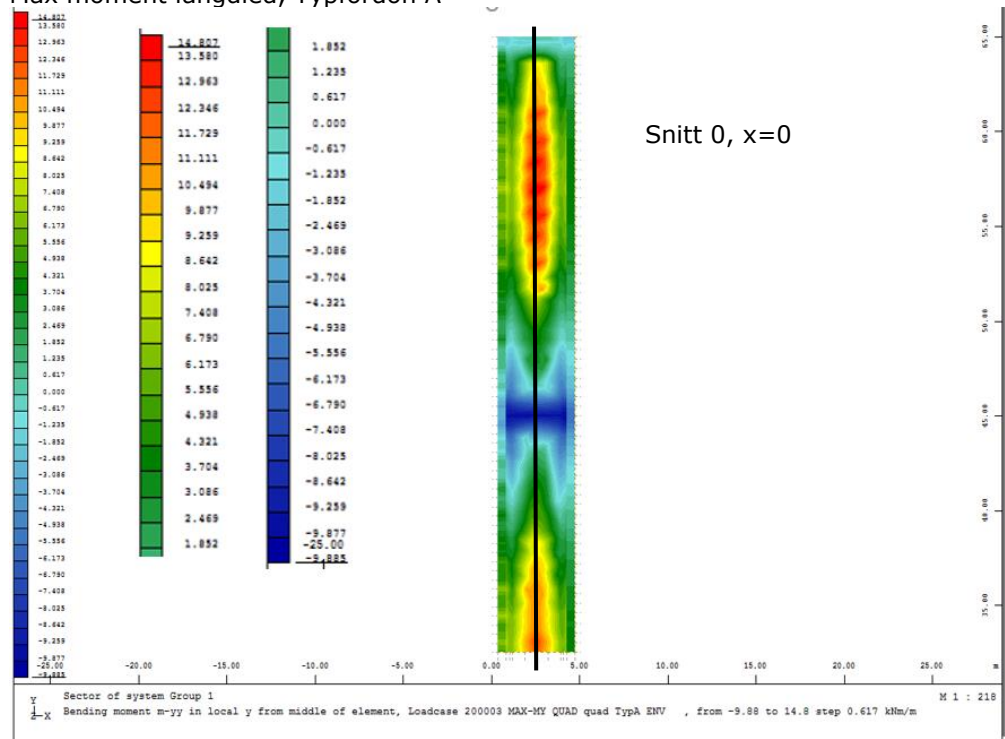
Snittkrafterna för enbart tvärgående och längsgående moment är det som presenteras för plattan eftersom det är avgörande för snittet. Dess tillhörande vridmoment beräknas sedan med i LKA bärighetsberäkningen.

9.1 Längdled

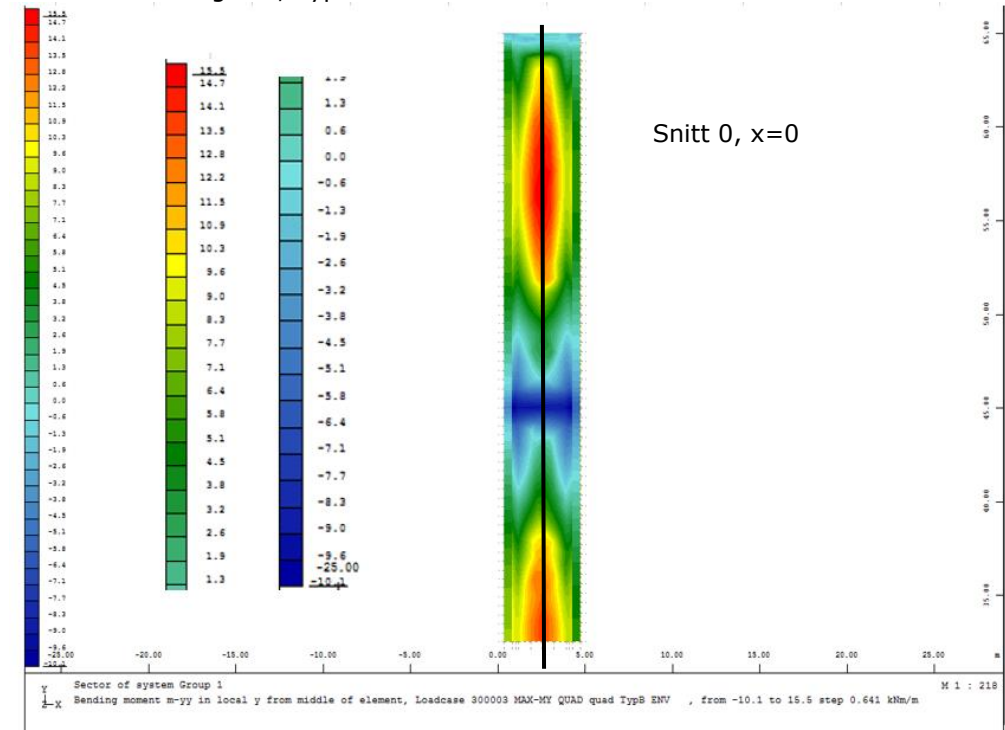
Snittkrafterna presenteras i nedan i följande ordning för A och B:

- Max tvärgående moment
- Min tvärgående moment
- Max tvärkraft
- Min tvärkraft
- Vridmoment presenteras ej då det inte ligger till grund för val av snittlinje

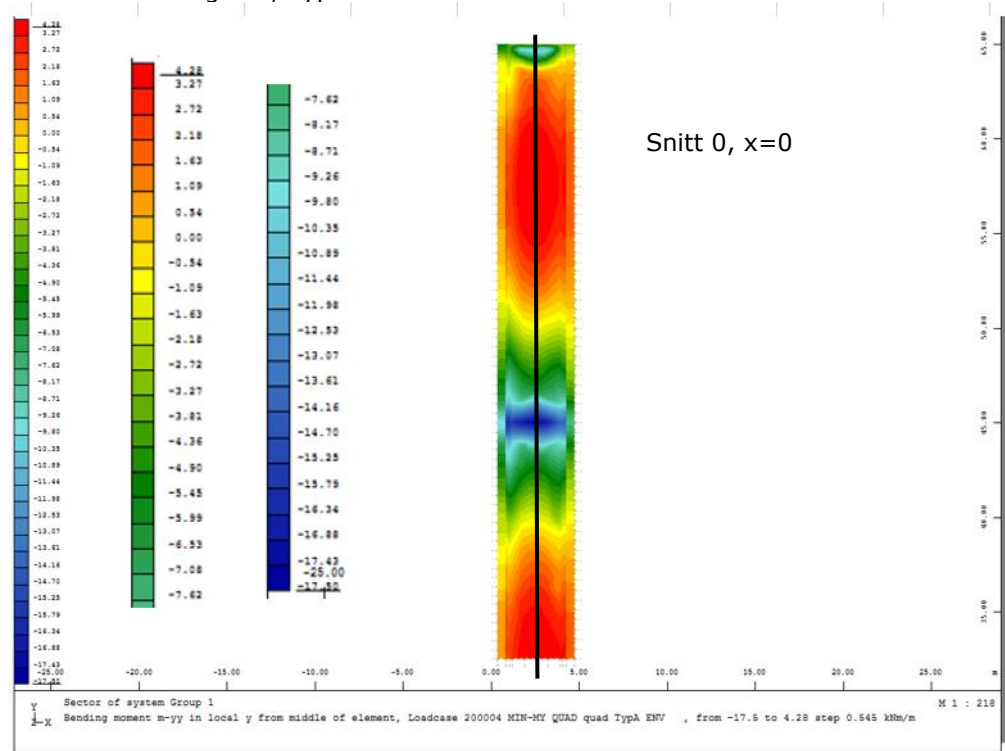
Max moment längdled, Typfordon A



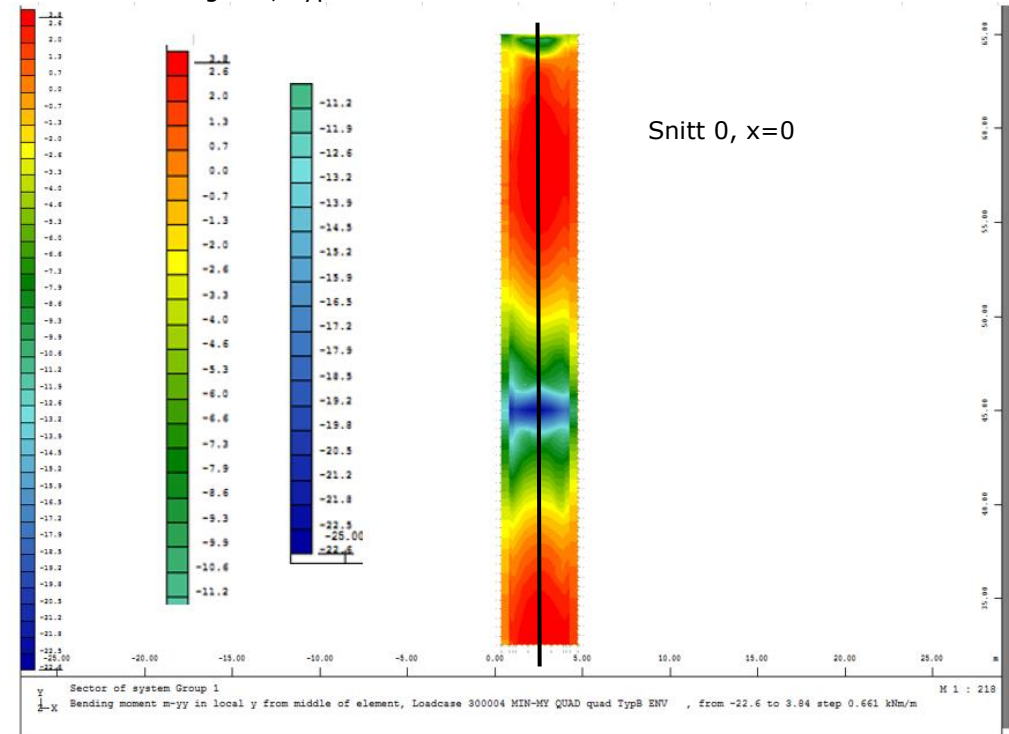
Max moment längdled, Typfordon B



Min moment längdled, Typfordon A



Min moment längdled, Typfordon B



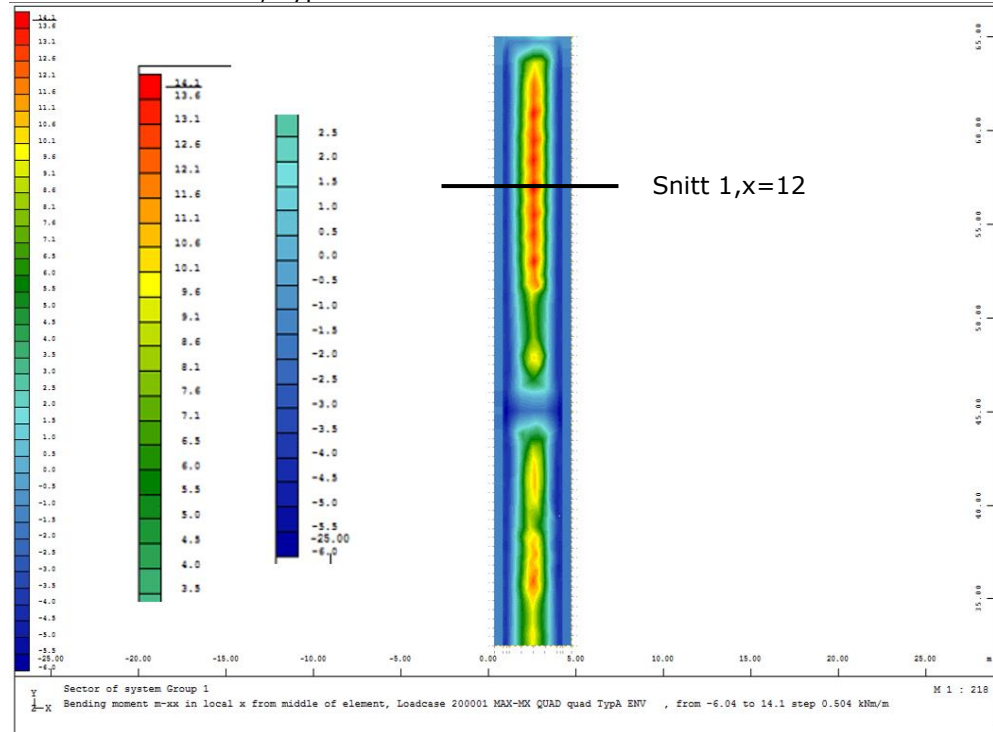
9.2

Tvärled

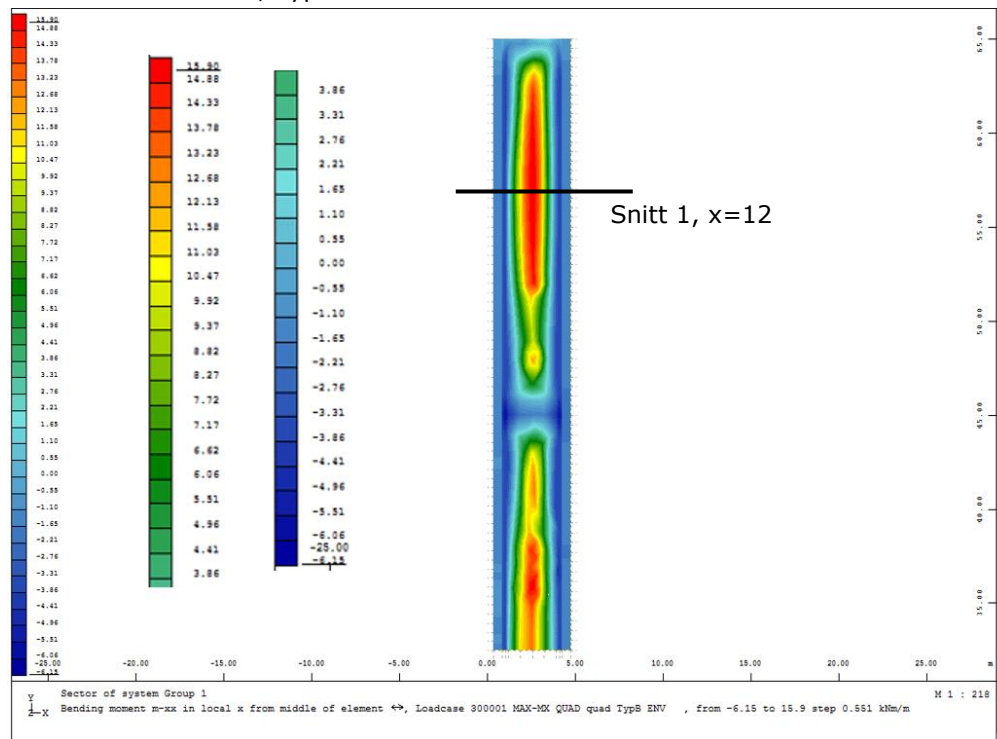
Snittkrafterna presenteras i nedan i följande ordning för A och B:

- Max tvärgående moment
- Min tvärgående moment
- Max tvärkraft
- Min tvärkraft
- Vridmoment presenteras ej då det inte ligger till grund för val av snittlinje

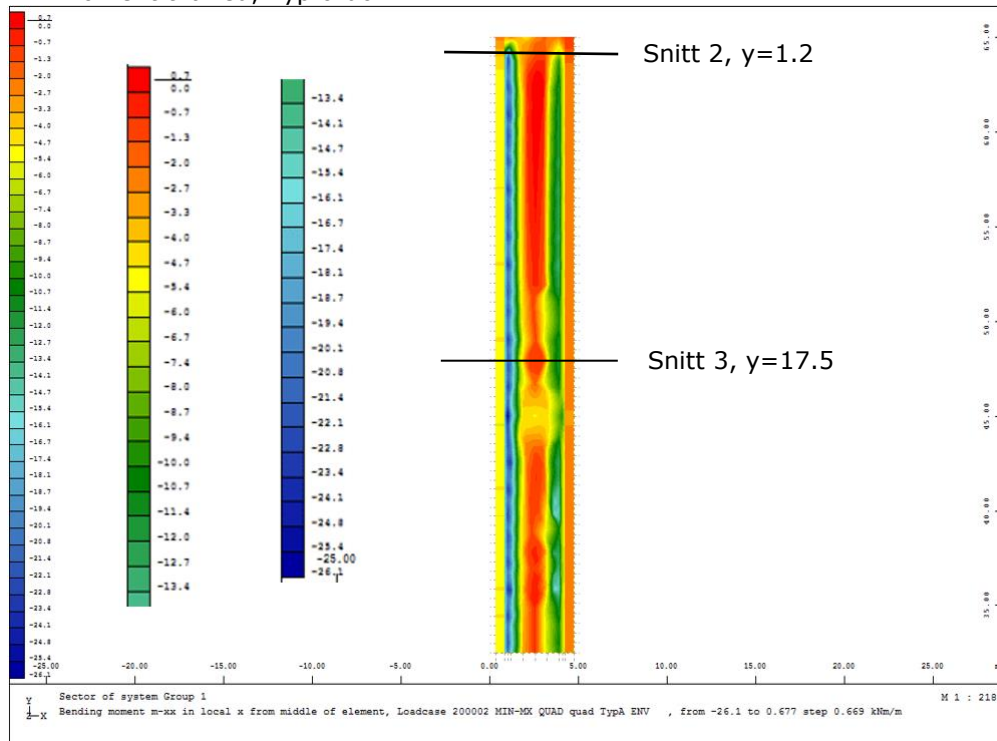
Max moment tvärled, Typfordon A



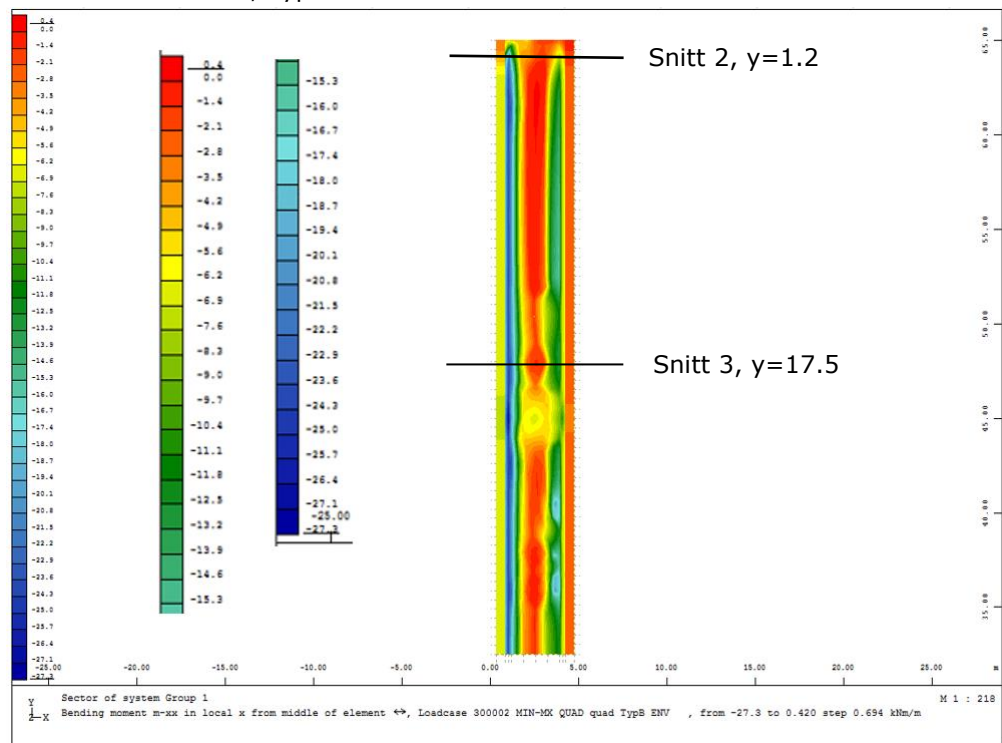
Max moment tvärled, Typfordon B



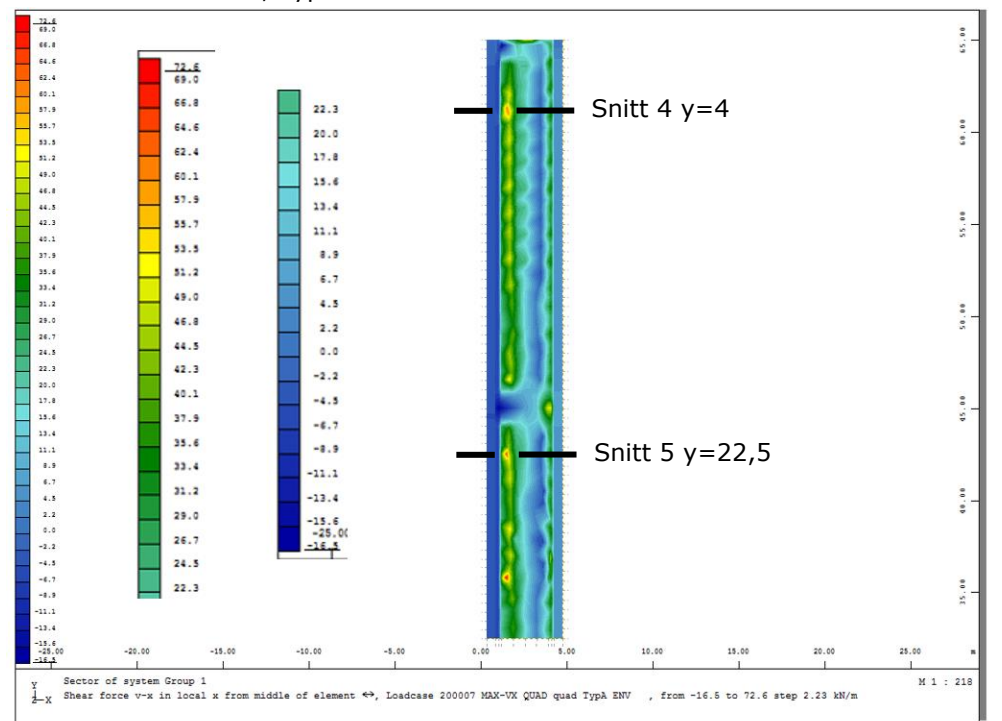
Min moment tvärled, Typfordon A



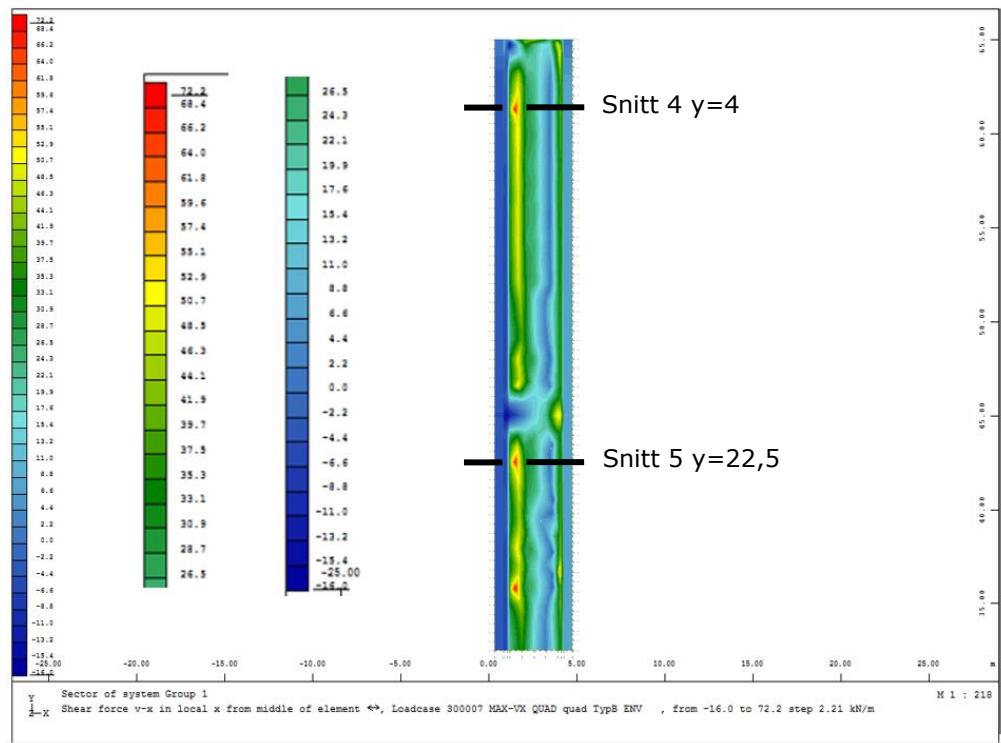
Min moment tvärled, Typfordon B



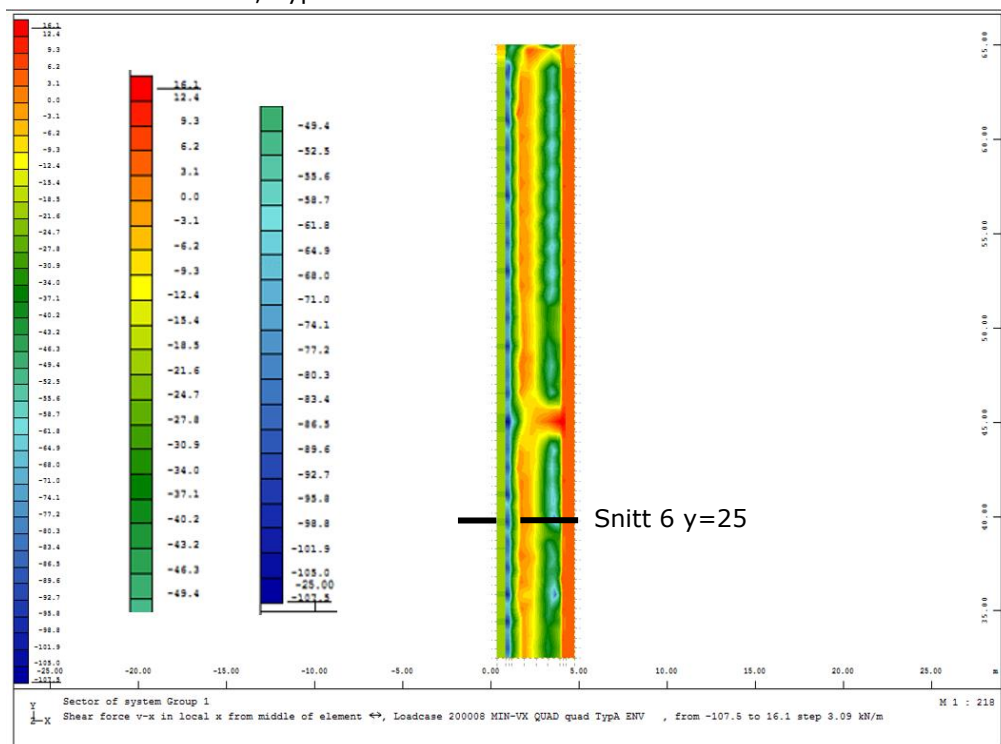
Max tvärförkraft tvärled, Typfordon A



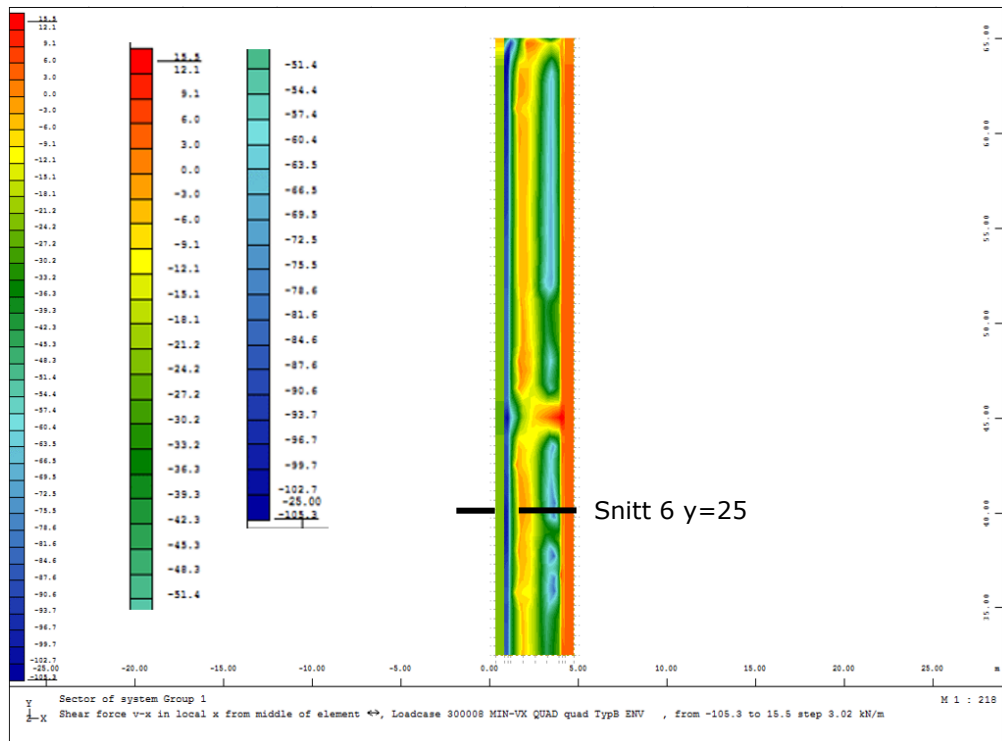
Max tvärkraft tvärled, Typfordon B



Min tvärkraft tvärled, Typfordon A



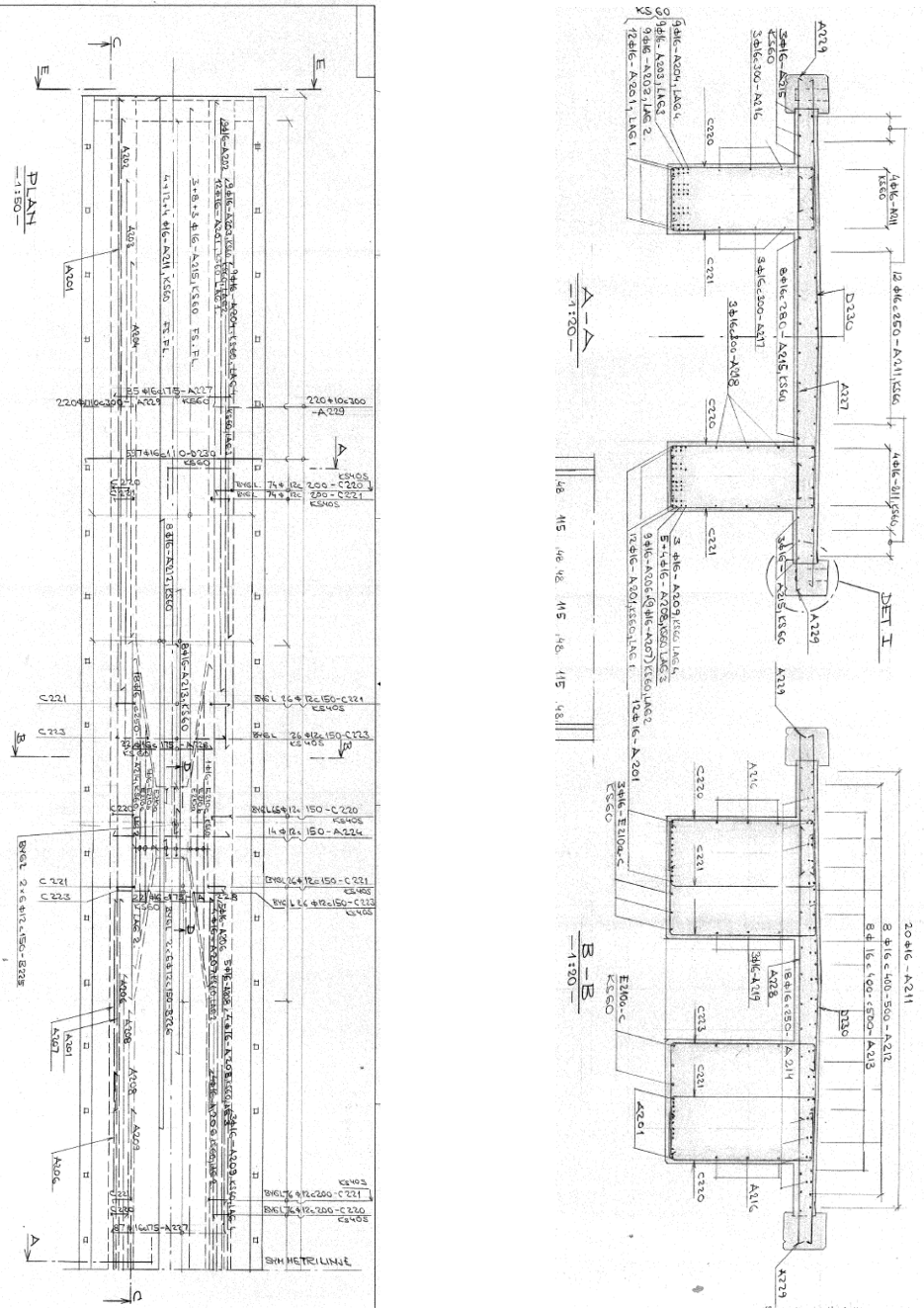
Min tvärkraft tvärled, Typfordon B



10. Bärighetsberäkning LKA för huvudbalkar

Beräkningen utförs hela bron med osymmetri i skivstödens längder. Stora mängder av data används för balkarna och därmed presenteras beräkningar för varje snitt i kapitel 10.4 i Bilaga 3.

10.1 Armering och längdmätning



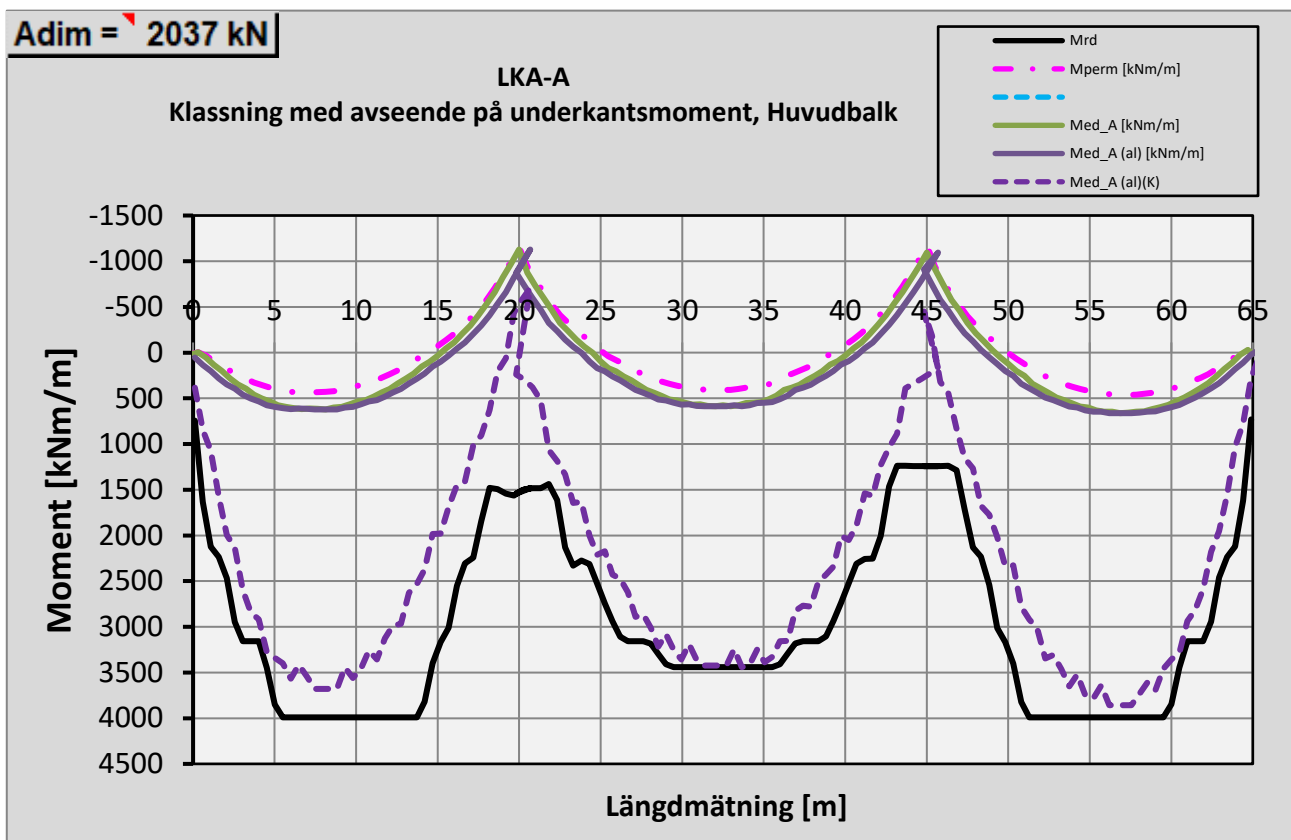
Längdmätningen för armering mäts på ritning ovan. Längdmätningen för varje järn presenteras tillsammans med armeringsmängden i avsnitt 10.3.

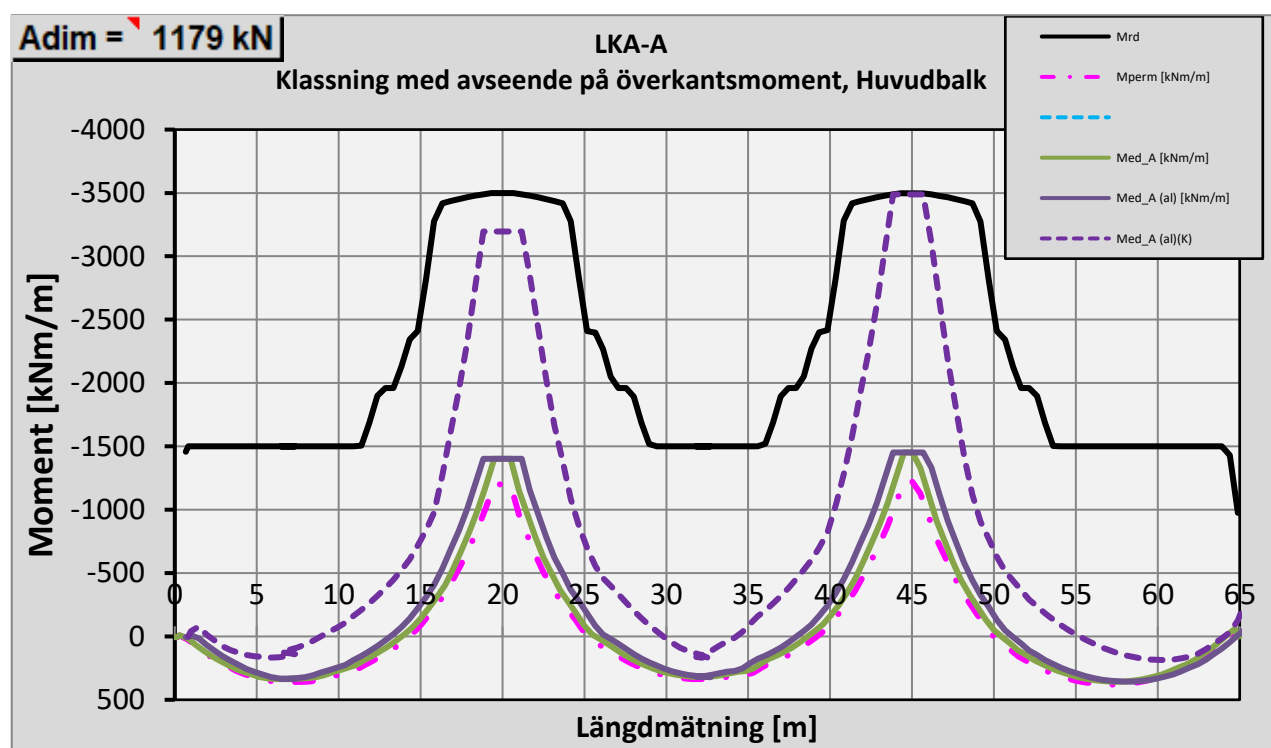
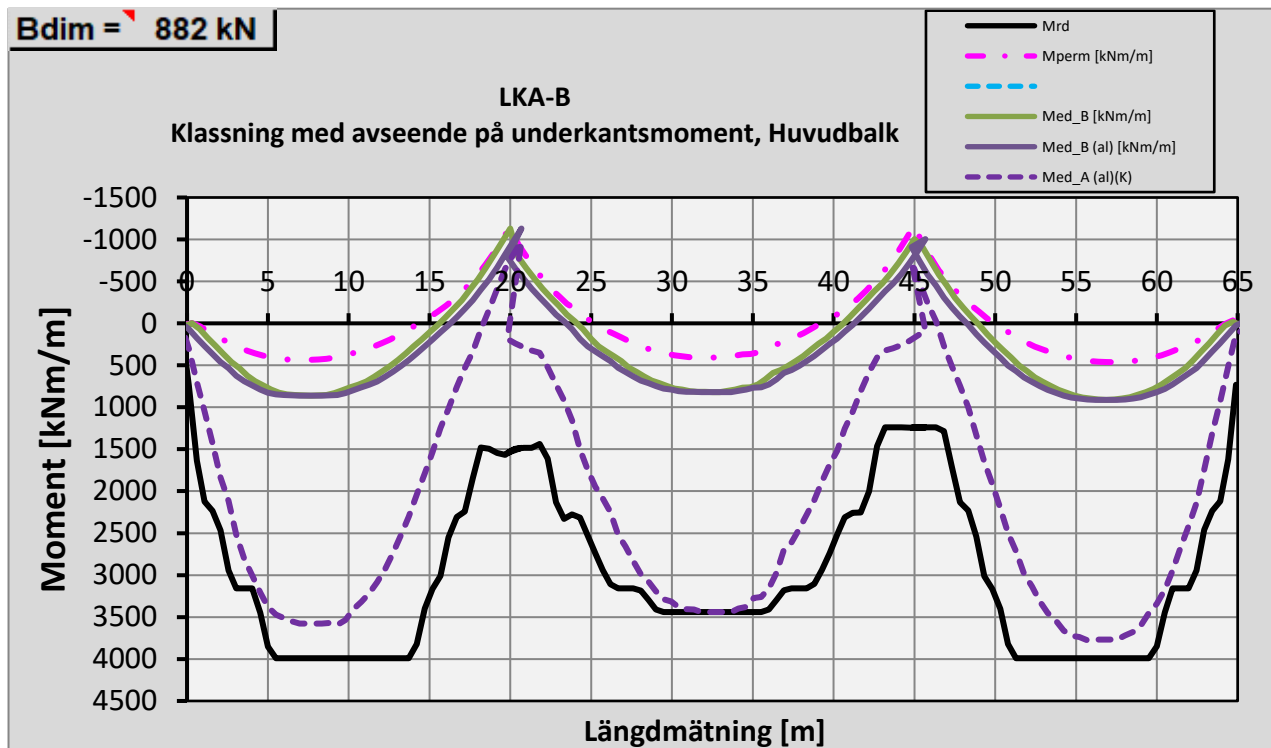
10.4

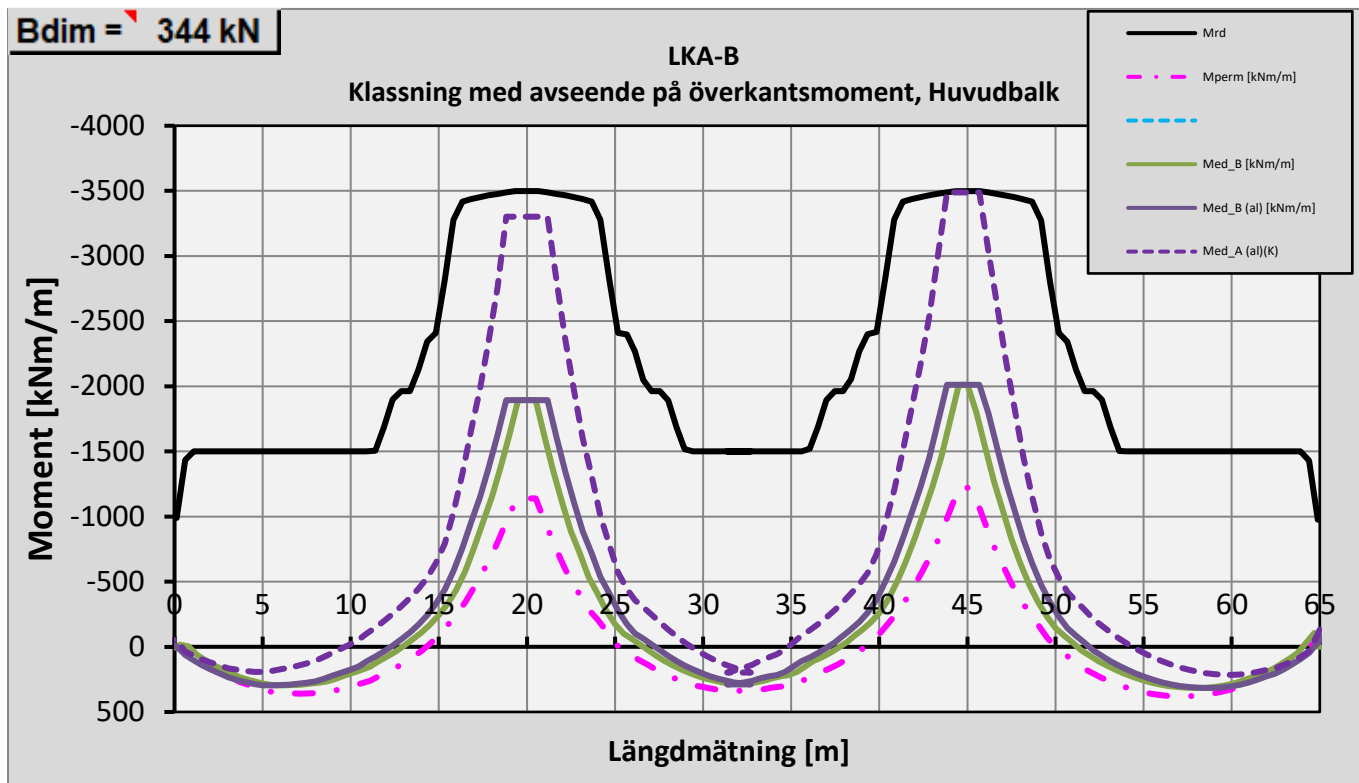
Moment, eget körfält

Momentkapacitet och klassningsberäkning för varje snitt presenteras i Bilaga 3.

Nedan presenteras diagrammen för A/B värde för huvudbalken.







10.5 Tvärkraft och vridmoment, eget körfält

Tvärkraft och vridmoment delar på kapaciteten för byglar och tilldelas därmed en kapacitetskvot som optimeras för att beräkna högsta A/B – värde.

Den dimensionerande bygelkvoten/kapacitetskvoten resulterade i 81% till tvärkraft och 19% till vridmoment. Tvärkraften resulterar i ett B-värde på 386 kN och vridmoment på 381 kN.

Nedan beräknas snittet som ger högst A/B – värde. Beräkningar längs med hela bron presenteras i Bilaga 3.

Beräkning av tvärkraftskapacitet i brott

1.1 Tvärsnitt

$x_L := 50.5\text{m}$	<i>Längdmätning</i>
$h := 1425\text{mm}$	<i>Höjd</i>
$d := 1366\text{mm}$	<i>Effektiv höjd</i>
$b_w := 685\text{mm}$	<i>Bredd</i>

1.2 Armeringsinnehåll

$$A_{s0} := 7691\text{mm}^2 \quad \begin{aligned} & \text{Längsgående armering (armering i} \\ & \text{ölk och uk medräknas)} \end{aligned}$$

$$A_{sv,tot} := 226\text{mm}^2 \quad \begin{aligned} & \text{Total bygelarmering} \end{aligned}$$

$$A_{sv} := 0.81 \cdot A_{sv,tot} = 183.06\text{-mm}^2 \quad \begin{aligned} & \text{Bygelarmering som används som} \\ & \text{tvärkraftsarmering (84% av total armeringsarea),} \\ & \text{kvarvarande 16 % används som vridarmering.} \end{aligned}$$

$$s := 200\text{mm} \quad \begin{aligned} & s\text{-avstånd byglar} \end{aligned}$$

$$\beta_1 := 90^\circ \quad \begin{aligned} & \text{Lutning byglar} \end{aligned}$$

1.3 Snittkrafter

$$V_{LKA} := 561.18\text{kN} \quad \begin{aligned} & \text{Absolutbelopp av dimensionerande tvärkraft (B-fordon)} \end{aligned}$$

$$V_{perm} := 326.43\text{-kN} \quad \begin{aligned} & \text{Absolutbelopp av dimensionerade} \\ & \text{tvärkraft exkl. typfordon (B-fordon)} \end{aligned}$$

2. Material

$$\gamma_n := 1.2 \quad \begin{aligned} & \text{Säkerhetsklass 3} \end{aligned}$$

Betong

$$f_{cc} := 17.1\text{MPa} \quad \begin{aligned} & \text{Dimensionerande tryckhållfasthet} \end{aligned}$$

$$f_{ct} := 1.14\text{MPa} \quad \begin{aligned} & \text{Dimensionerande draghållfasthet} \end{aligned}$$

Byglar

$$f_{st1} := 449\text{MPa} \quad \begin{aligned} & \text{Dimensionerande sträckgräns} \end{aligned}$$

$$f_{sv1} := \min\left(f_{st1}, \frac{520\text{MPa}}{1.15 \cdot \gamma_n}\right) = 376.812\text{-MPa} \quad \begin{aligned} & \text{Dimensionerande draghållfasthet,} \\ & \text{se BBK 3.7.4.2.} \end{aligned}$$

3.1 Tvärkraftskapacitet

Parametrar

Enligt BBK 04 avsnitt 3.7.3

$$\zeta := \begin{cases} 1.4 & \text{if } d \leq 0.2m \\ \left[1.6 - \frac{d}{(m)} \right] & \text{if } 0.2m < d \leq 0.5m \\ \left[1.3 - 0.4 \cdot \frac{d}{(m)} \right] & \text{if } 0.5m < d \leq 1m \\ 0.9 & \text{if } d > 1m \end{cases} \quad \zeta = 0.9$$

$$\theta := 45\text{deg} \quad \text{Antagen lutning på skjuvspricka}$$

Beräknade värden

Armeringsinnehåll

$$\rho := \frac{A_{s0}}{b_w \cdot d} \quad \rho = 0.00822$$

Betongens formella skjuvhållfasthet

$$f_v := 0.3 \cdot \zeta \cdot (1 + 50 \cdot \rho) \cdot f_{ct} \quad f_v = 0.434 \cdot \text{MPa}$$

Betongens tvärkraftskapacitet V_c enligt BBK 2.7.3.2

$$V_c := b_w \cdot d \cdot f_v \quad V_c = 406.4 \cdot \text{kN}$$

Tvärkraftsarmeringens bidrag V_s enligt BBK 2.7.4.2

$$V_s := A_{sv} \cdot f_{sv1} \cdot \frac{0.9 \cdot d}{s}$$

$$V_s = 424 \cdot \text{kN}$$

För att tvärkraftsarmeringen skall få räknas som statiskt verksam krävs att V_s överstiger:

$$0.2 \cdot b_w \cdot d \cdot f_{ct} = 213 \cdot \text{kN} \quad \text{Okl!}$$

Total tvärkraftskapacitet

$$V_{Rd} := V_c + V_s$$

$$V_{Rd} = 830 \cdot \text{kN}$$

Övre gräns med avseende på tryckbrott

$$V_{d_max} := 0.25 \cdot b_w \cdot d \cdot f_{cc} = 4000 \text{ kN} \quad Ok!$$

3.2 Klassning m.a.p tvärkraft

Proportionsfaktor, k

$$k = \frac{V_{Rd} - V_{perm}}{V_{LKA} - V_{perm}} = 2.15$$

Dimensionerande B-värde

$$B_{dim} := k \cdot 180 \text{ kN} \quad B_{dim} = 386 \text{ kN}$$

Beräkning av vridningskapacitet i brott

1. Dimensionerande snittkrafter $xL = 50.5 \text{ m}$

Typfordon B

$$T_{sd_B} := 56.54 \text{ kNm} \quad (\text{absolutbelopp})$$

$$V_{sd_B} := 561.18 \text{ kN} \quad (\text{absolutbelopp})$$

Eklusive trafik

$$T_{sd_exkl_trafik} := 15.93 \text{ kNm} \quad (\text{absolutbelopp})$$

2. Geometri

$$b := 685 \text{ mm} \quad \text{Bredd}$$

$$h := 1465 \text{ mm} \quad \text{Höjd}$$

$$d := 1366 \text{ mm} \quad \text{Effektiv höjd}$$

$$c := 30 \text{ mm} \quad \text{Täckande betongskikt}$$

$$\Phi_b := 12 \text{ mm} \quad \text{Bygellarmerings dimension}$$

$$\Phi_1 := 16 \text{ mm} \quad \text{Längsgående armerings dimension}$$

$$t := \left(c + \Phi_b + \frac{\Phi_1}{2} \right) \cdot 2 = 100 \cdot \text{mm}$$

$$A_{ef} := (b - t) \cdot (h - t) = 0.799 \text{ m}^2 \quad \text{Beräknad enligt BBK 04 avsnitt 3.8.4}$$

$$u_{ef} := 2 \cdot (b - t) + 2 \cdot (h - t) = 3.9 \text{ m} \quad \text{Beräknad enligt BBK 04 avsnitt 3.8.4}$$

$$d_{ef} := b - t = 585 \cdot \text{mm}$$

$$h_{ef} := 0.2d_{ef} = 117 \cdot \text{mm}$$

$$\theta := 45 \text{ deg} \quad \text{Antagen spricklutning}$$

3. Material

Betong

$$f_{ctk} := 2.05 \text{ MPa} \quad f_{ct} := \frac{f_{ctk}}{1.5 \cdot 1.2} = 1.14 \text{ MPa}$$

$$f_{ck} := 30.8 \text{ MPa} \quad f_{cc} := \frac{f_{ck}}{1.5 \cdot 1.2} = 17.11 \text{ MPa}$$

Armering

Längsgående armering:

Hållfasthet

$$f_{yk_1} := 620 \text{ MPa} \quad f_{st_1} := \frac{f_{yk_1}}{1.15 \cdot 1.2} = 449 \text{ MPa}$$

Medräknat armeringsinnehåll: 10 fi 16 (järn i balkens hörn närmast bygel - två i ök och två i uk och A216/218) medräknas $34 \cdot 113 + 4 \cdot 201 = 4650$

Den längsgående armering som medräknas i vridkapaciteten medräknats inte som böjarmering för moment i samma snitt.

$$A_{sl} := 2011 \text{ mm}^2$$

Tvärstående armering, (byglar)

Hållfasthet

$$f_{yk_t} := 410 \text{ MPa} \quad f_{st_t} := \frac{f_{yk_t}}{1.15 \cdot 1.2} = 297 \cdot \text{MPa} \quad \text{Dimensionerande draghållfasthet, se BBK 3.7.4.2.}$$

Tvärnittsarea , 1 st. skär

$$A_{st} := 42.98 \text{ mm}^2 \quad \text{Bygelarmering, avser 2 stycken skär } 2 \varnothing 12 \cdot (1-0.81) = 42.98 \text{ mm}^2, \text{ dvs. den kvarvarande bygelarmeringen efter att 81 \% används till s-avstånd}$$

$$s := 200 \text{ mm}$$

4. Beräkning

Vridmomentkapacitet med avseende på längsgående armering

$$T_{Rd1} := \frac{A_{sl} \cdot f_{st_t} \cdot 2 \cdot A_{ef} \cdot \tan(\theta)}{u_{ef}} = 370 \cdot \text{kNm}$$

Vridmomentkapacitet med avseende på bygelarmering

$$T_{Rd2} := \frac{f_{st_t} \cdot A_{st} \cdot 2 \cdot A_{ef}}{s \cdot \tan(\theta)} = 102 \cdot \text{kNm}$$

Vridmomentkapacitet med avseende på tryckbrott

$$T_{Rd_max} := 2 \cdot A_{ef} \cdot h_{ef} \left(0.25 \cdot f_{cc} - \frac{V_{sd} \cdot B}{b \cdot d} \right) = 687.26 \cdot \text{kNm}$$

Dimensionerande vridmomentkapacitet

$$T_{Rd_dim} := \min(T_{Rd1}, T_{Rd2}, T_{Rd_max}) = 102 \cdot \text{kNm}$$

Betongtvärnittets vridmomentkapacitet exklusive armering

Enligt avsnitt 4.2.2.1.1 i TDOK 2013:0267

$$Z := \frac{b^2}{2} \cdot \left(h - \frac{b}{3} \right) = 0.29 \cdot \text{m}^3$$

$$T_{RD_exkl_arm} := 0.3 \cdot Z \cdot f_{ct} = 99 \cdot \text{kNm}$$

5. Dimensionerande boggielast

Typfordon B

$$k_B := \frac{T_{Rd_dim} - T_{sd_exkl_trafik}}{T_{sd_B} - T_{sd_exkl_trafik}} = 2.119$$

$$B := 180\text{kN} \cdot k_B = 381\text{kN}$$

Beräkning för dimensionerande A-värde presenteras i Bilaga 3. De dimensionerande värdena är 704 kN för tvärkraft och 709 kN för vridmoment.

10.6

Medverkande flänsbredd

Klassningsberäkningen för balken i längdled för stödmoment resulterade i ett B-värde på omkring 60 kN där en rektangulär balk beaktades. Resultatet anses orimligt låg och med en hög tvärgående armeringskapacitet utfördes följande beräkningen av medverkande flänsbredd.

För att få använda armeringen i T-balkens flänsar krävs dock att kontroll görs för så kallad flänsavskjuvning i enlighet med [4] 6.2.4.2 – det vill säga att en viss mängd tvärgående armering beräknas användas för att förhindra flänsavskjuvning för T-tvärsnittet.

Den mängd tvärgående armering ("A_t") som beräknas användas för att förhindra flänsavskjuvning för T-tvärsnittet och kommer därmed inte kunna utnyttjas till kapacitet för tvärgående böjande moment i farbaneplattan. Formeln för erforderlig tvärarmering redovisas nedan. Formeln är hämtad ur [4] 6.2.4.2.

$$A_t = \left(\frac{A_f}{A} \cdot \frac{V_d}{z} - h_f f_v \right) \frac{1}{f_{st}} \quad (6.2.4.2)$$

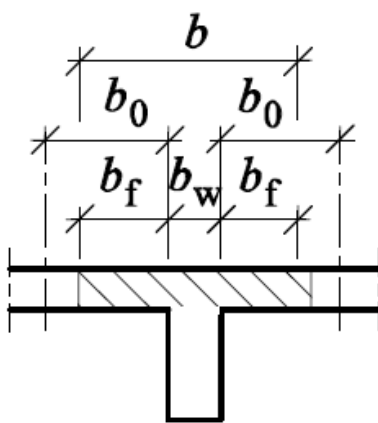
där

- A är total tryckzonsarea om den studerade flänsen är tryckt och total böjarmeringsarea om den är dragen
- A_f är den del av tryckzonsarea respektive böjarmeringsarea som befinner sig inom bredden b_f enligt figur 6.2.4.1a – c
- f_v = $0,35 f_{ct}$
- h_f är flänstjocklek
- z är tvärsnittets inre hävarm som kan sättas till 0,9 gånger balkens effektiva höjd d

Innan kontroll för flänsavskjuvning kan utföras måste medverkande flänsbredd, b_f , väljas för tvärsnittet. Den medverkande flänsbredden måste enligt [4] 6.2.4.1 vara lägre än b_0 som enligt [1] 4.1.2.7.2 får bestämmas som

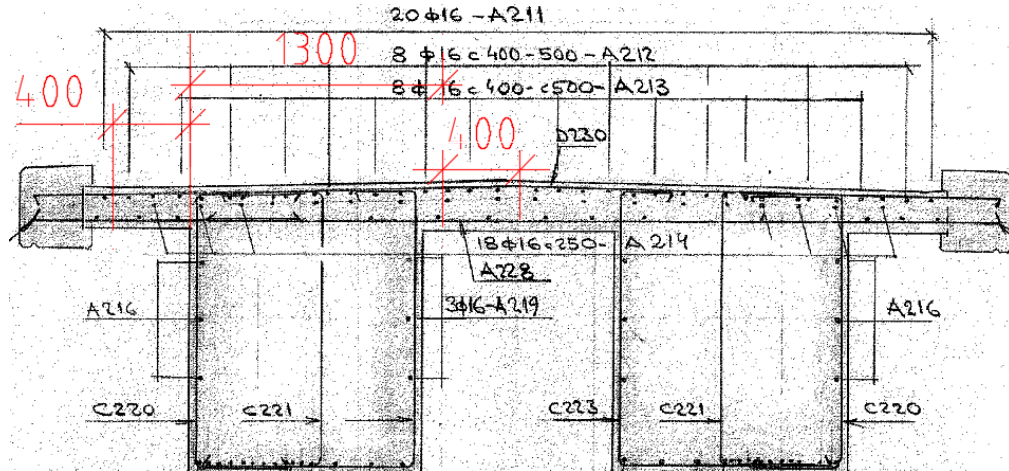
1. halva avståndet mellan två närliggande balkliv (= 400 mm), eller
2. som konsolbredd exklusive kantbalk (= 500 mm)

b_0 väljs till 400 mm. Figuren nedan redovisar begreppen b_0 och b_f .



Bilden är tagen från [4] 6.2.4.1

Medverkande flänsbredd väljs till full bredd ($b_f = 400 \text{ mm}$) från balk. Bredden b_f visas i figuren nedan där A beräknas i området 1300mm och A_f inom området $b_f=400\text{mm}$.



Medverkande flänsbredd behövs endast vid stöd och därmed kommer följande beräkning av A_t endast beakta området kring stöd.

Först presenteras en handberäkning för medverkande flänsbredd och sedan presenteras tabeller över området kring stöden.

KONTROLL AV ARMERINGSBEHOVET AV TVÄRARMERING FÖR ATT BERÄKNA LÄNGSGÅENDE ARMERINGSKAPACITET I MEDVERKANDE FLÄNSBREDD

Om fläns förutsätts medverka i brottgränstillstånd för att ge plats åt erforderlig dragarmering kan tvärarmering, A_t , krävas i flänsen inom effektiva bredden b_f .

Kontrollen nedan utförs vid $xL = 19$ m.

$$b_{1f} := 400\text{mm} \quad b_f < 500\text{mm} \quad \text{Halva avståndet mellan balkliv}$$

<i>Längdmätning</i>	$x_L := 19\text{m}$
<i>Höjd</i>	$h := 2465\text{mm}$
<i>Effektiv höjd</i>	$d := 1351\text{mm}$
<i>Bredd</i>	$b := 1231\text{mm}$

Armering Ks60

$$f_{yk} := 620\text{MPa} \quad f_{st} := \frac{f_{yk}}{1.15 \cdot 1.2} = 449\text{-MPa}$$

$$f_{ct} := 1.14\text{MPa} \quad // \text{Betongens dimensionerande draghållfasthet}$$

$$A_{ct} := 6434 \cdot \text{mm}^2 \quad // \text{Total armeringsmängd för balk och medverkande flänsbredd}$$

$$A_f := 2615.9 \cdot \text{mm}^2 \quad // \text{Armeringsmängd tillhörande flänsområdet } b_f$$

$$Z := 0.9 \cdot d = 1.216 \times 10^3 \cdot \text{mm} \quad // \text{Tvärsnittets inre hävarm}$$

$$h_f := 220\text{mm} \quad // \text{Tjocklek av fläns}$$

$$f_v := 0.35 \cdot f_{ct} = 0.399\text{-MPa}$$

$$f_{st} = 449.275\text{-MPa} \quad // \text{Armering Ks60, säkerhetsklass 3}$$

$$V_d := 147\text{kN} \quad // \text{Tillhörande tvärkraft till } M_{min}$$

$$A_t := \left[\left(\frac{V_d}{Z} \cdot \frac{A_f}{A} \right) - h_f \cdot f_v \right] \cdot \frac{1}{f_{st}} = -85.974 \cdot \frac{\text{mm}^2}{\text{m}}$$

Beräkning av momentkapaciteten i brottgränstillstånd

a	0,8
β	0,4

Momentkapacitet överkant längsled

INDATA											BERÄKNING						
Snitt	xL [m]	h [mm]	b [mm]	y ₀ [mm]	d [mm]	f _{cc} [MPa]	f _{ct} [MPa]	ε _{cu}	f _{st} [MPa]	E _{sd} [GPa]	A _s [mm ²]	x [mm]	ε _s	σ _s [MPa]	σ _s > f _{st,min} ?	a _t [m]	M _{Rd} [kNm]

10.7

Sammanställning av resultat, huvudbalk

Sammanställning av A/B – värde för huvudbalk presenteras i tabellen nedan.

<i>LKA Huvudbalk</i>		
<i>Eget körfält</i>	<i>A (kN)</i>	<i>B (kN)</i>
Moment underkant	2037	882
Moment överkant	1179	344
Tvärkraft	704	386
Vridmoment	709	381
<i>Dimensionerade värden</i>	704	344

11. Bärighetsberäkning LKA för plattan

Plattans konsol beräknas ej för moment i tvärled då kapaciteten konstant och snittkrafterna är betydligt högre mellan balkarna. Vilket även gäller för moment i längdled då snittkrafterna är betydligt högre och kapaciteten är lika/ högre för konsolen.

11.1 Armering och längdmätning

Armering för plattan presenteras i avsnitt 10.1. Längdmätningen för varje järn presenteras tillsammans med armeringsmängden i avsnitt 11.3.

11.2 Förankringslängd

Förankringslängden beräknas enligt Betonghandbok konstruktion 3.9.1. Beräkningarna har resulterat till omkring 700mm. Konstruktionens armeringsjärn har ett flertal olika förankringslängder, därmed förenklas längden och har antagits till $50\varnothing = 800\text{mm}$.

11.3 Armeringsmängd

I tabellerna nedan presenteras armeringsmängderna för underkant och överkant i längdled och tvärled för plattan.

Armeringsmängden för underkant platta i längdled presenteras inte för varje snitt eftersom armering ej varierar i längdled.

Framtagning av armeringsmängder

2019-08-21

Underkant platta

LÄNGDLED

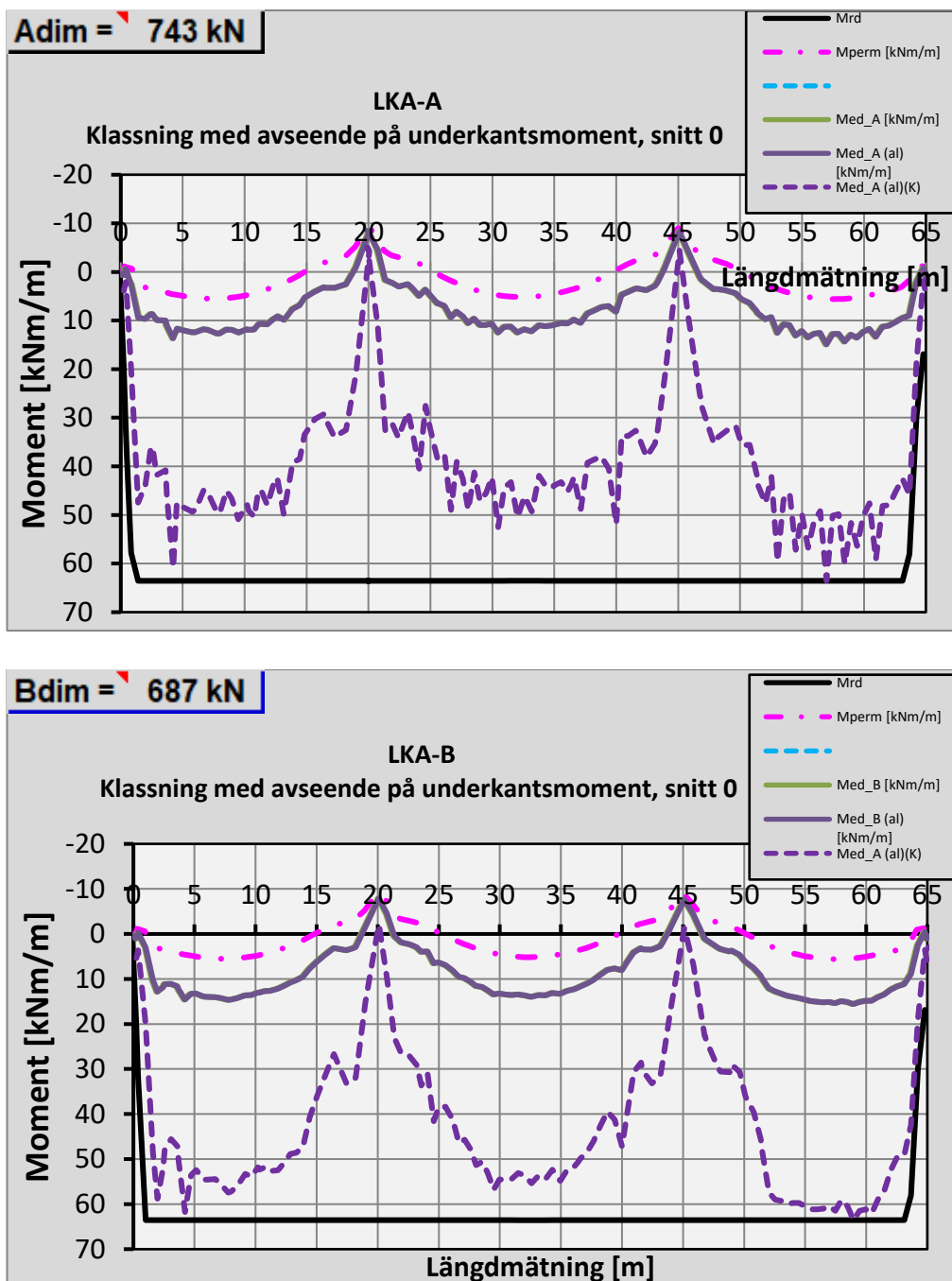
Förankringslängd l_{bd} här antaget 50Ø

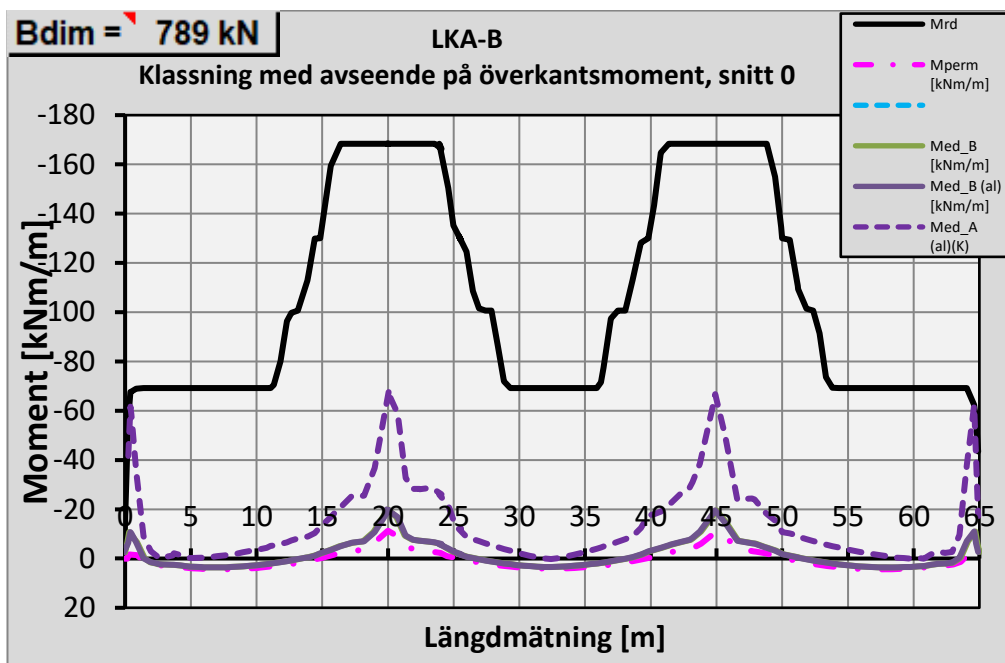
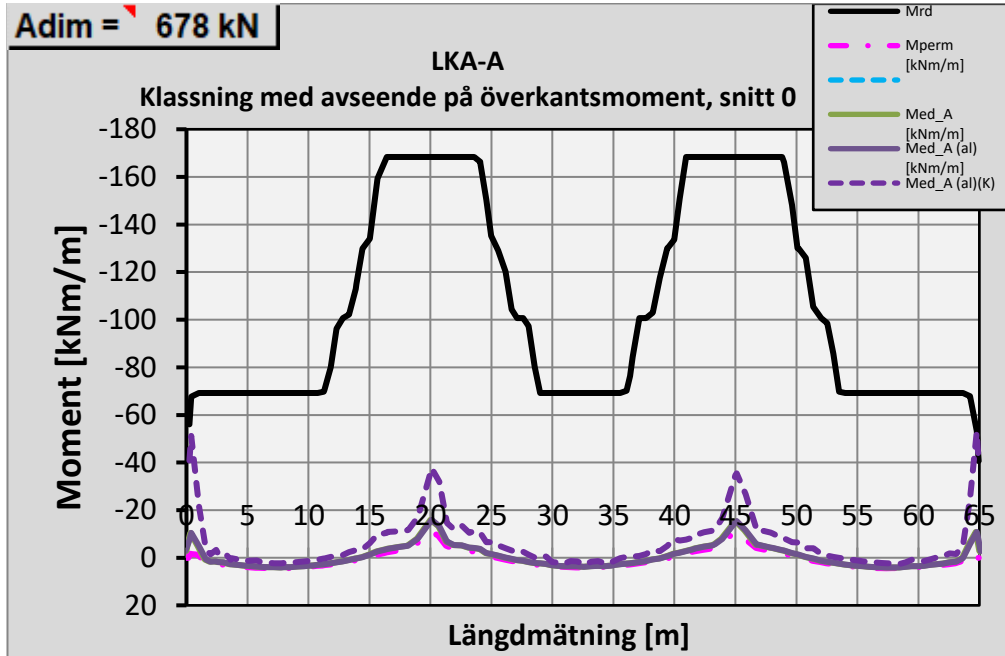
g	A215
Armeringsmängd A_s [cm^2/m]	7,2
Startpunkt [m]	0
Slutpunkt [m]	65,00
Förankringslängd l_{bd} [m]	<u>0,80</u>
Tyngdpunkt TP [mm]	50
Diameter Ø [mm]	16
S -avstånd c/c [mm]	280
Bredd b [mm]	1000
Armeringsarea A_\varnothing [mm^2]	201,1

11.4

Moment i längdled, eget körfält

Momentkapacitet och klassningsberäkning för varje snitt presenteras i Bilaga 3. Nedan presenteras diagrammen för A/B värde för plattan i längdled i underkant och överkant.

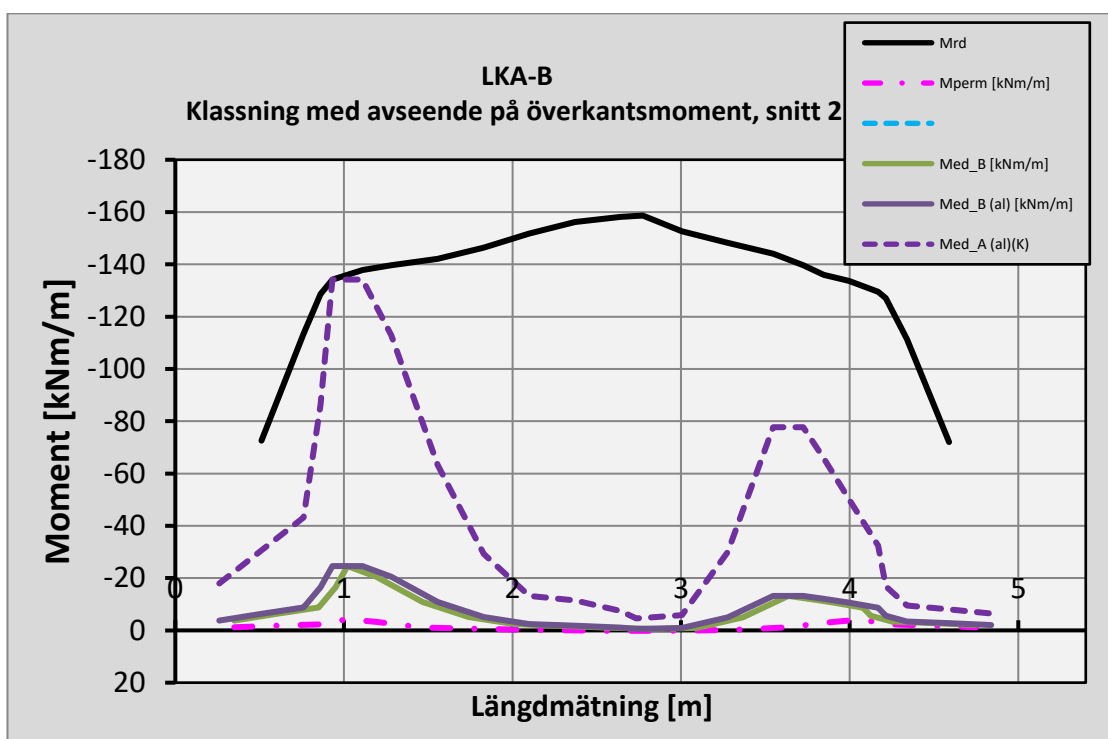
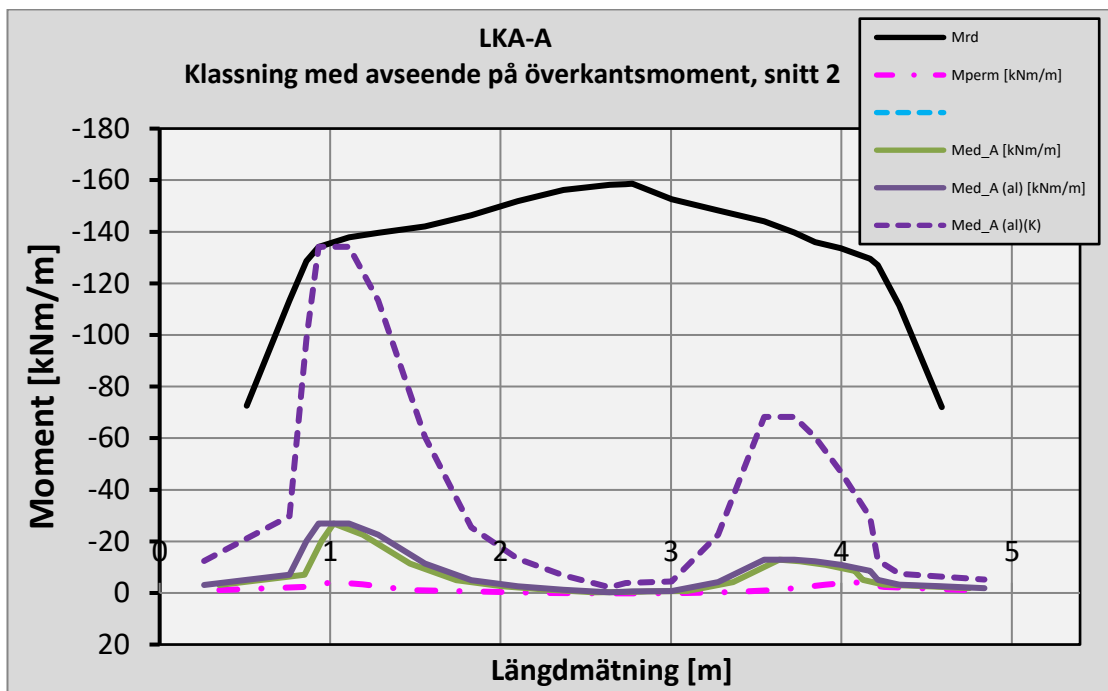


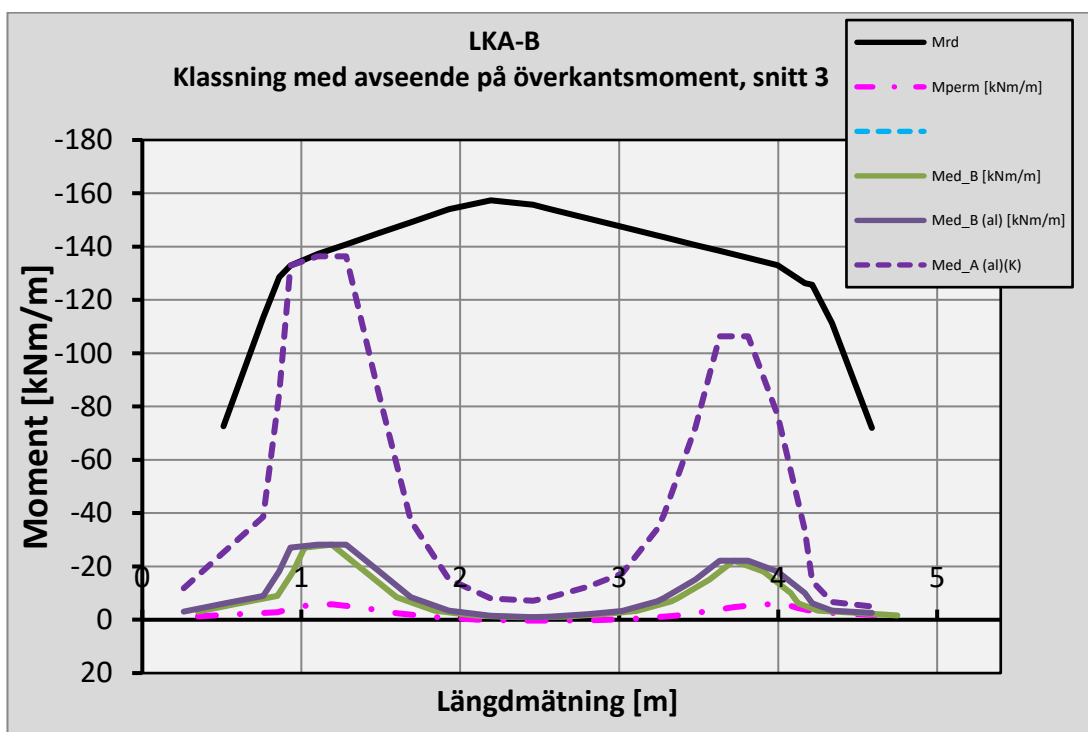
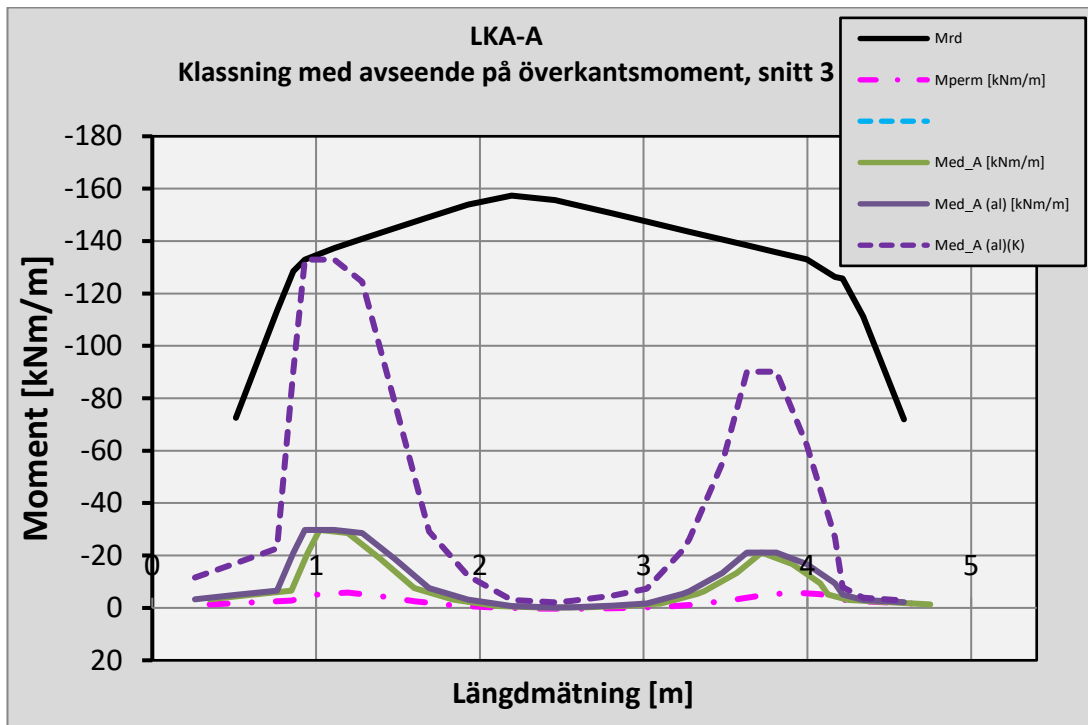


11.5

Moment i tvärled, eget körfält

Beräkning av kapaciteten och klassning för A/B värdena presenteras i tabellerna nedan, därefter visas ett diagram över kapacitet, snittkrafter och klassning. För underkantsmoment(snitt 1) och överkantsmoment (snitt 2 och 3).



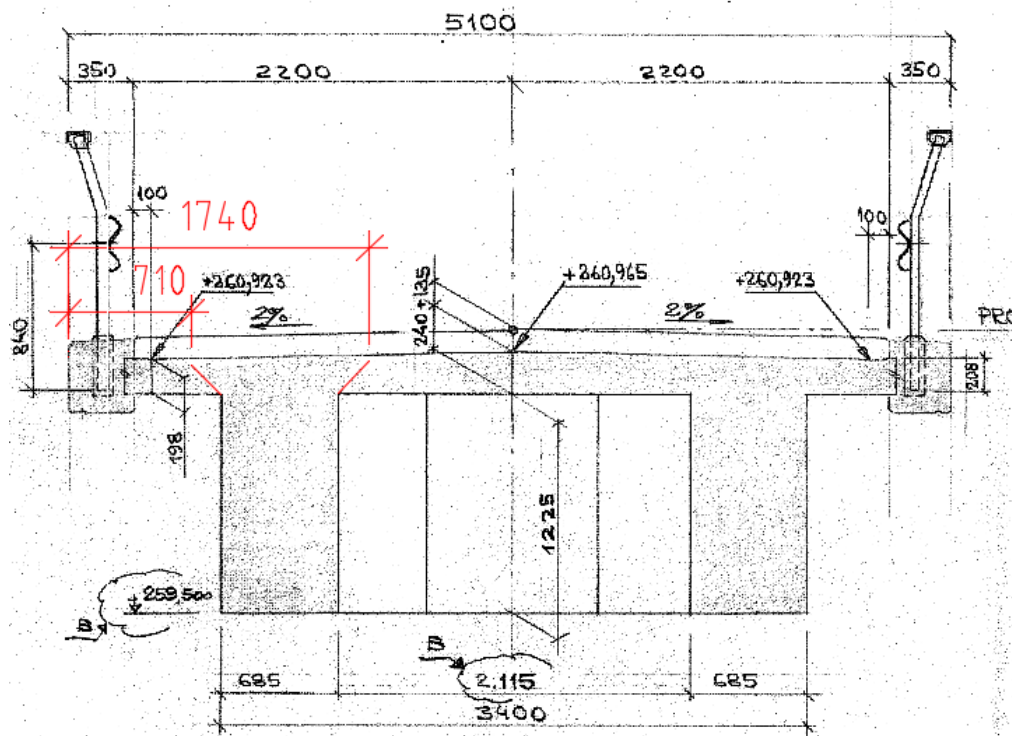


11.6

Tvärkraft i tvärled

De dimensionerande snitten 4 och 6 är vid ett tvärsnitt längs bron där balken är 685mm bred. Snitt 5, vid voten (22.5m), resulterade i lägre snittkrafter än de andra och har en högre kapacitet på grund av högre tjocklek på plattan vid det snittet. Därmed beräknas inte snitt 5.

I bilden nedan visas tvärmätning som är dimensionerande vid beräkning av tvärkraft.



Tjockleken vid följande tvärmätning är:

- | | |
|--------|---------------------------------------|
| 0,71m: | $h=209\text{mm}$ och $d=168\text{mm}$ |
| 1,74m: | $h=229\text{mm}$ och $d=191\text{mm}$ |

Snittkrafterna presenteras i tabellerna nedan. De tvärmätningsvärden (0.71m och 1.74m) som har högst snittkraft markeras i tabellerna. I de handberäkningen interpoleras snittkrafterna till den exakta tvärmätningen.

Vx Max case snitt 4						
Element	y koordinate	x koordinate	tjocklek	Typ A	Typ B	Permanent
	[m]	[m]	[mm]	[knm/m]	[knm/m]	[knm/m]
12189	0,35	4,00	198	10,8767	11,0864	-4,5161
12189	0,60	4,00	198	7,6849	8,2012	-5,0943
12190	0,85	4,00	198	4,493	5,3161	-5,6726
11932	0,95	4,00	240	-6,0764	-2,2662	-6,6882
11932	1,02	4,00	240	-5,6713	-3,6979	-7,0394
11931	1,19	4,00	240	48,44	45,0652	1,7582
11072	1,28	4,00	240	64,1936	58,6848	4,4807
11069	1,46	4,00	240	88,7415	84,8018	9,7662
11070	1,74	4,00	240	51,3685	50,971	7,3801
10895	1,94	4,00	240	34,9997	33,5184	5,5484
10914	2,01	4,00	240	28,7748	26,9454	4,8584
10913	2,28	4,00	240	36,3203	34,7989	2,3483
11082	2,55	4,00	240	35,3297	33,8026	0,1197
11081	2,73	4,00	240	33,2608	29,1231	-1,1041
11084	2,80	4,00	240	31,4293	27,399	-1,5313
11310	3,01	4,00	240	34,4485	30,4744	-2,6134
11311	3,22	4,00	240	18,7858	23,3792	-3,7146
11229	3,33	5,00	240	11,6094	19,221	-4,3623
10822	3,63	6,00	240	-0,5732	1,5849	-5,9772
10821	3,91	7,00	240	38,798	38,9093	1,6962
10389	4,08	8,00	240	44,5047	50,6807	9,4149
10392	4,13	9,00	240	9,9107	17,6164	8,7871
10144	4,25	10,00	198	7,3755	9,47	7,0173
10144	4,50	11,00	198	6,2849	7,4973	5,9923
10064	4,75	12,00	198	5,1943	5,5247	4,9673

Vx Max case snitt 6						
Element	y koordinate	x koordinate	tjocklek	Typ A	Typ B	Permanent
	[m]	[m]	[mm]	[knm/m]	[knm/m]	[knm/m]
12262	0,35	25,00	198	-9,8114	-13,7662	-5,0213
12262	0,60	25,00	198	-23,7127	-34,062	-6,0839
12261	0,85	25,00	198	-37,614	-54,3578	-7,1466
11989	0,95	25,00	240	-60,9313	-104,8714	-9,0569
11989	1,02	25,00	240	-65,3445	-111,9754	-9,9418
11990	1,19	25,00	240	-32,3088	-58,0591	-1,8084
11672	1,37	25,00	240	-6,2792	-20,7754	3,7131
11671	1,45	25,00	240	4,3225	-2,8916	6,3689
11674	1,68	25,00	240	3,1641	-13,6886	5,1505
11768	1,70	25,00	240	3,0802	-14,4798	5,0586
11769	2,00	25,00	240	-3,5277	-20,3313	3,2642
11770	2,00	25,00	240	-3,5823	-20,2769	3,2385
11441	2,31	25,00	240	-3,5915	-7,701	1,4296
11440	2,51	25,00	240	-7,9714	-13,2385	0,0354
11755	2,64	25,00	240	-12,641	-21,4301	-1,0792
11390	2,97	25,00	240	-32,0444	-47,1155	-4,0203
11387	3,29	25,00	240	-44,9238	-60,6648	-7,0175
11414	3,60	25,00	240	-59,0144	-82,4407	-10,0264
11411	3,91	25,00	240	-27,6965	-43,4484	-1,7482
10435	4,08	25,00	240	6,7795	2,9166	7,507
10436	4,13	25,00	240	6,0978	-0,7637	6,9443
10200	4,25	25,00	198	5,265	1,0476	5,7954
10200	4,50	25,00	198	4,7388	2,4124	5,1818
10199	4,75	25,00	198	4,2127	3,7771	4,5683

För tvärmätning 1,74m hittades högsta A-värde i snitt 4 och högsta B-värde finns i snitt 6. För tvärmätning 0,71 hittades högsta A/B – värde i snitt 6. Se markeringarna i tabellerna ovan. Nedan presenteras en beräkning för varje fall.

Beräkning av tvärkraftskapacitet med alternativa modellen enligt BBK04, snitt 4

1. Geometri och last

Längdmätning x	$x_L := 1.74\text{m}$
Längdmätning y	$y_L := 4\text{m}$
Bredd	$b_w := 1000\text{mm}$
Höjd	$h := 229\text{mm}$
Effektiv höjd	$d := 191\text{mm}$
Normalkraft (positiv vid drag)	$N_{\text{drag}} := 0\text{kN}$

2. Material

Dimensionerande hållfasthet betong och armering, se beräkningsrapport.

Betong

$$f_{ck} := 30.775\text{MPa}$$

$$f_{cc} := 18.7\text{MPa}$$

$$f_{ct} := 1.24\text{MPa}$$

$$\text{Partialkoefficient för bärformåga. } \gamma_m := 1.2$$

$$\text{Säkerhetsklass 2 } \gamma_n := 1.1$$

Armeringsinnehåll

Böjarmering (enligt TDOk 2013_0267 ver 5.0 avsnitt 4.2.3, får böjarmeringsinnehållet för negativt och positivt moment beaktas).

$$A_{s0} := 1149 \cdot \text{mm}^2 + 1828 \cdot \text{mm}^2$$

$$A_{s0} = 2977 \cdot \text{mm}^2$$

3. Beräkning

Alternativ modell för beräkning av betongens tvärkraftskapacitet utan statiskt verksam tvärkraftsarmering.

Beräknade parametrar

$$\sigma_{cm} := \frac{-N}{1.2 \cdot \gamma_n \cdot b_w \cdot h} = 0 \text{ MPa} \quad (3.7.3.4)$$

Pos vid tryck

$$k := \min\left(1 + \sqrt{\frac{0.2m}{d}}, 2.0\right) \quad k = 2 \quad (3.7.3.7)$$

Böjarmeringsinnehåll

$$\rho := \min\left(0.02, \frac{A_{s0}}{b_w \cdot d}\right) \quad \rho = 0.0156 \quad (3.7.3.7)$$

$$\nu_{min} := \frac{0.035}{\gamma_n} \cdot \sqrt{k^3 \cdot \frac{f_{ck}}{MPa}} \cdot MPa \quad \nu_{min} = 0.4993 \cdot MPa \quad (3.7.3.7c)$$

Betongens tvärkraftskapacitet utan statiskt verksam tvärkraftsarmering

$$V_{Rdc} := \left(\frac{0.18 \cdot k}{\gamma_m \cdot \gamma_n} \cdot \sqrt[3]{100 \cdot \rho \cdot \frac{f_{ck}}{MPa}} \cdot MPa + 0.15 \cdot \sigma_{cm} \right) \cdot b_w \cdot d \quad V_{Rdc} = 189.3 \cdot kN \quad (3.7.3.7a)$$

$$\text{dock lägst} \quad (3.7.3.7b)$$

$$V_{Rdc,min} := (\nu_{min} + 0.15 \cdot \sigma_{cm}) \cdot b_w \cdot d \quad V_{Rdc,min} = 95.4 \cdot kN$$

Övre gräns för tvärkraftskapacitet i spruckna områden

$$V_{Rdc,\bar{o}} := b_w \cdot \frac{b_w \cdot h^3}{12} \cdot \left(b_w \cdot \frac{h^2}{8} \right)^{-1} \cdot \sqrt{f_{ct}^2 + \sigma_{cm} \cdot f_{ct}} \quad (3.7.3.7d)$$

$$V_{Rdc,\bar{o}} = 189.3 \cdot kN$$

$$\text{Tvärkraften för oreducerad last bör inte överstiga} \quad (3.7.3.7e)$$

$$\nu := 0.6 \cdot \left(1 - \frac{f_{ck}}{250 \cdot MPa}\right) \quad \nu = 0.526$$

$$V_{Rdc,max} := 0.5 \cdot \nu \cdot b_w \cdot d \cdot f_{cc} \quad V_{Rdc,max} = 939.6 \cdot kN$$

Dimensionerande tvärkraftskapacit

$$V_{Rd} := \min(\max(V_{Rdc}, V_{Rdc,min}), \min(V_{Rdc,\bar{o}}, V_{Rdc,max}))$$

$$V_{Rd} = 189.3 \cdot kN$$

4.Klassning

Vmax/Vmin Vs_z brobaneplatta

Dimensionerande tvärkraft, A-fordon

$$V_{LKA_A} := 51.4 \text{ kN}$$

Tvärkraftskapacitet

$$V_{Rd} = 189.3 \cdot \text{kN}$$

Dimensionerande tvärkraft
exkl. typfordon

$$V_{perm} := 7.38 \cdot \text{kN}$$

Proportionsfaktor, k

$$k_A := \frac{V_{Rd} - V_{perm}}{V_{LKA_A} - V_{perm}} = 4.1$$

Dimensionerande A/B-värde

$$A_{dim} := 120 \text{ kN} \cdot k_A$$

$$A_{dim} = 496 \text{ kN}$$

Beräkning av tvärkraftskapacitet med alternativa modellen enligt BBK04, snitt 6, tvärmätning 0.71m

1. Geometri och last

Längdmätning x

$$y_L := 0.71 \text{ m}$$

Längdmätning y

$$x_L := 25 \text{ m}$$

Bredd

$$b_w := 1000 \text{ mm}$$

Höjd

$$h := 209 \text{ mm}$$

Effektiv höjd

$$d := 168 \text{ mm}$$

Normalkraft (positiv vid drag)

$$N_{\text{drag}} := 0 \text{ kN}$$

2. Material

Dimensionerande hållfasthet betong och armering, se beräkningsrapport.

Betong

$$f_{ck} := 30.775 \text{ MPa}$$

$$f_{cc} := 18.7 \text{ MPa}$$

$$f_{ct} := 1.24 \text{ MPa}$$

Partialkoefficient för bärformåga.

$$\gamma_m := 1.2$$

Säkerhetsklass 2

$$\gamma_n := 1.1$$

Armeringsinnehåll

Böjarmering (enligt TDOK 2013_0267 ver 5.0 avsnitt 4.2.3, får böjarmeringsinnehållet för negativt och positivt moment beaktas).

$$A_{s0} := 1149 \cdot \text{mm}^2 + 1828 \cdot \text{mm}^2$$

$$A_{s0} = 2977 \cdot \text{mm}^2$$

3. Beräkning

Alternativ modell för beräkning av betongens tvärkraftskapacitet utan statiskt verksam tvärkraftsarmering.

Beräknade parametrar

$$\sigma_{cm} := \frac{-N}{1.2 \cdot \gamma_n \cdot b_w \cdot h} = 0 \cdot \text{MPa}$$

(3.7.3.4)

Pos vid tryck

$$k := \min\left(1 + \sqrt{\frac{0.2m}{d}}, 2.0\right) \quad k = 2 \quad (3.7.3.7)$$

Böjarmeringsinnehåll

$$\rho := \min\left(0.02, \frac{A_{s0}}{b_w \cdot d}\right) \quad \rho = 0.0177 \quad (3.7.3.7)$$

$$\nu_{min} := \frac{0.035}{\gamma_n} \cdot \sqrt{k^3 \cdot \frac{f_{ck}}{\text{MPa}}} \cdot \text{MPa} \quad \nu_{min} = 0.4993 \cdot \text{MPa} \quad (3.7.3.7c)$$

Betongens tvärkraftskapacitet utan statiskt verksam tvärkraftsarmering

$$V_{Rdc} := \left(\frac{0.18 \cdot k}{\gamma_m \cdot \gamma_n} \cdot \sqrt[3]{100 \cdot \rho \cdot \frac{f_{ck}}{\text{MPa}}} \cdot \text{MPa} + 0.15 \cdot \sigma_{cm} \right) \cdot b_w \cdot d \quad V_{Rdc} = 173.8 \cdot \text{kN} \quad (3.7.3.7a)$$

$$\text{dock lägst} \quad (3.7.3.7b)$$

$$V_{Rdc,min} := (\nu_{min} + 0.15 \cdot \sigma_{cm}) \cdot b_w \cdot d \quad V_{Rdc,min} = 83.9 \cdot \text{kN}$$

Övre gräns för tvärkraftskapacitet i spruckna områden

$$V_{Rdc,\delta} := b_w \cdot \frac{b_w \cdot h^3}{12} \left(b_w \cdot \frac{h^2}{8} \right)^{-1} \cdot \sqrt{f_{ct}^2 + \sigma_{cm} \cdot f_{ct}} \quad (3.7.3.7d)$$

$$V_{Rdc,\delta} = 172.8 \text{ kN}$$

Tvärkraften för oreducerad last bör inte överstiga

(3.7.3.7e)

$$\nu := 0.6 \left(1 - \frac{f_{ck}}{250 \text{ MPa}} \right) \quad \nu = 0.526$$

$$V_{Rdc,max} := 0.5 \cdot \nu \cdot b_w \cdot d \cdot f_{cc} \quad V_{Rdc,max} = 826.5 \text{ kN}$$

Dimensionerande tvärkraftskapacitet

$$V_{Rd} := \min(\max(V_{Rdc}, V_{Rdc,min}), \min(V_{Rdc,\delta}, V_{Rdc,max}))$$

$$V_{Rd} = 172.8 \text{ kN}$$

4. Klassning

Vmax/Vmin Vs z brobaneplatta

Dimensionerande tvärkraft, A-fordon

$$y_1 := 0.6 \text{ m} \quad V_{LKA_A_1} := 23.7 \text{ kN}$$

$$y_2 := 0.85 \text{ m} \quad V_{LKA_A_2} := 37.6 \text{ kN}$$

$$y_L = 0.71 \text{ m} \quad V_{LKA_A} := V_{LKA_A_1} + \frac{y_L - y_1}{y_2 - y_1} (V_{LKA_A_2} - V_{LKA_A_1}) = 29.816 \text{ kN}$$

Dimensionerande tvärkraft, B-fordon

$$y_1 := 0.6 \text{ m} \quad V_{LKA_B_1} := 34.1 \text{ kN}$$

$$y_2 := 0.85 \text{ m} \quad V_{LKA_B_2} := 54.4 \text{ kN}$$

$$y_L = 0.71 \text{ m} \quad V_{LKA_B} := V_{LKA_B_1} + \frac{y_L - y_1}{y_2 - y_1} (V_{LKA_B_2} - V_{LKA_B_1}) = 43.032 \text{ kN}$$

Tvärkraftskapacitet

$$V_{Rd} = 172.8 \text{ kN}$$

Dimensionerande tvärkraft
exkl. tyrfordon

$$y_1 := 0.6 \text{ m} \quad V_{Perm_1} := 6.1 \text{ kN}$$

$$y_2 := 0.85 \text{ m} \quad V_{Perm_2} := 7.1 \text{ kN}$$

$$y_L = 0.71 \text{ m} \quad V_{Perm} := V_{Perm_1} + \frac{y_L - y_1}{y_2 - y_1} (V_{Perm_2} - V_{Perm_1}) = 6.54 \text{ kN}$$

Propotionsfaktor, k

$$k_A := \frac{V_{Rd} - V_{Perm}}{V_{LKA_A} - V_{Perm}} = 7.1$$

$$k_B := \frac{V_{Rd} - V_{Perm}}{V_{LKA_B} - V_{Perm}} = 4.6$$

70 av 75

Dimensionerande A/B-värde

$$A_{dim} := k_A \cdot 180 \text{ kN}$$

$$A_{dim} = 1286 \text{ kN}$$

$$B_{dim} := k_B \cdot 180 \text{ kN}$$

$$B_{dim} = 820 \text{ kN}$$

Beräkning av tvärkraftskapacitet med alternativa modellen enligt BBK04, snitt 6, tvärmätning 1,75m

1. Geometri och last

Längdmätning x	$y_L := 3.36\text{m}$
Längdmätning y	$x_L := 25\text{m}$
Bredd	$b_w := 1000\text{mm}$
Höjd	$h := 229\text{mm}$
Effektiv höjd	$d := 191\text{mm}$
Normalkraft (positiv vid drag)	$N_{\text{nn}} := 0\text{kN}$

2. Material

Dimensionerande hållfasthet betong och armering, se beräkningsrapport.

Betong

$$f_{ck} := 30.775\text{MPa}$$

$$f_{cc} := 18.7\text{MPa}$$

$$f_{ct} := 1.24\text{MPa}$$

Partialkoefficient för bärformåga. $\gamma_m := 1.2$

Säkerhetsklass 2 $\gamma_n := 1.1$

Armeringsinnehåll

Böjarmering (enligt TDOK 2013_0267 ver 5.0 avsnitt 4.2.3, får böjarmeringsinnehållet för negativt och positivt moment beaktas).

$$A_{s0} := 1149 \cdot \text{mm}^2 + 1828 \cdot \text{mm}^2$$

$$A_{s0} = 2977 \cdot \text{mm}^2$$

3. Beräkning

Alternativ modell för beräkning av betongens tvärkraftskapacitet utan statiskt verksamt tvärkraftsarmering.

Beräknade parametrar

$$\sigma_{cm} := \frac{-N}{1.2 \cdot \gamma_n \cdot b_w \cdot h} = 0 \text{ MPa} \quad (3.7.3.4)$$

Pos vid tryck

$$k := \min\left(1 + \sqrt{\frac{0.2m}{d}}, 2.0\right) \quad k = 2 \quad (3.7.3.7)$$

Böjarmeringsinnehåll

$$\rho := \min\left(0.02, \frac{A_{s0}}{b_w \cdot d}\right) \quad \rho = 0.0156 \quad (3.7.3.7)$$

$$\nu_{min} := \frac{0.035}{\gamma_n} \cdot \sqrt{k^3 \cdot \frac{f_{ck}}{MPa}} \cdot MPa \quad \nu_{min} = 0.4993 \cdot MPa \quad (3.7.3.7c)$$

Betongens tvärkraftskapacitet utan statiskt verksamt tvärkraftsarmering

$$V_{Rdc} := \left(\frac{0.18 \cdot k}{\gamma_m \cdot \gamma_n} \cdot \sqrt[3]{100 \cdot \rho \cdot \frac{f_{ck}}{MPa}} \cdot MPa + 0.15 \cdot \sigma_{cm} \right) \cdot b_w \cdot d \quad V_{Rdc} = 189.3 \cdot kN \quad (3.7.3.7a)$$

dock lägst (3.7.3.7b)

$$V_{Rdc,min} := (\nu_{min} + 0.15 \cdot \sigma_{cm}) \cdot b_w \cdot d \quad V_{Rdc,min} = 95.4 \cdot kN$$

Övre gräns för tvärkraftskapacitet i spruckna områden

$$V_{Rdc,o} := b_w \cdot \frac{b_w \cdot h^3}{12} \cdot \left(b_w \cdot \frac{h^2}{8} \right)^{-1} \cdot \sqrt{f_{ct}^2 + \sigma_{cm} \cdot f_{ct}} \quad (3.7.3.7d)$$

$V_{Rdc,o} = 189.3 \cdot kN$

Tvärkrafen för oreducerad last bör inte överstiga (3.7.3.7e)

$$\nu := 0.6 \cdot \left(1 - \frac{f_{ck}}{250 \cdot MPa}\right) \quad \nu = 0.526$$

$$V_{Rdc,max} := 0.5 \cdot \nu \cdot b_w \cdot d \cdot f_{cc} \quad V_{Rdc,max} = 939.6 \cdot kN$$

72 av 75

Dimensionerande tvärkraftskapacit

$$V_{Rd} := \min(\max(V_{Rdc}, V_{Rdc,min}), \min(V_{Rdc,o}, V_{Rdc,max}))$$

$V_{Rd} = 189.3 \cdot kN$

4. Klassning

V_{max}/V_{min} V_{sz} brobaneplatta

Dimensionerande tvärkraft, B-fordon

$$y_1 := 3.29\text{m} \quad V_{LKA_B_1} := 60.7\text{kN}$$

$$y_2 := 3.6\text{m} \quad V_{LKA_B_2} := 82.7\text{kN}$$

$$y_L = 3.36\text{m} \quad V_{LKA_B} := V_{LKA_B_1} + \frac{y_L - y_1}{y_2 - y_1} (V_{LKA_B_2} - V_{LKA_B_1}) = 65.668\text{-kN}$$

Tvärkraftskapacitet

$$V_{Rd} = 189.3\text{-kN}$$

Dimensionerande tvärkraft
exkl. typfordon

$$y_{A1} := 3.29\text{m} \quad V_{Perm_1} := 7.0\text{kN}$$

$$y_{A2} := 3.6\text{m} \quad V_{Perm_2} := 10.0\text{kN}$$

$$y_L = 3.36\text{m} \quad V_{Perm} := V_{Perm_1} + \frac{y_L - y_1}{y_2 - y_1} (V_{Perm_2} - V_{Perm_1}) = 7.677\text{-kN}$$

Proportionsfaktor, k

$$k_B := \frac{V_{Rd} - V_{Perm}}{V_{LKA_B} - V_{Perm}} = 3.1$$

Dimensionerande A/B-värde

$$B_{dim} := k_B \cdot 180\text{kN}$$

$$B_{dim} = 564\text{-kN}$$

11.7 Sammanställning av resultat, platta

Sammanställning av A/B – värde för plattan presenteras i tabellen nedan

<i>LKA platta</i>		
<i>Eget körfält, Längdled</i>	<i>A (kN)</i>	<i>B (kN)</i>
Moment underkant	743	687
Moment ÖK	678	789
<i>Eget körfält, Tvärled</i>	<i>A (kN)</i>	<i>B (kN)</i>
Moment underkant	700	680
Moment ÖK	687	766
Tvärkraft	496	564
<i>Dimensionerade värden</i>	496	564

12. Beräkning av nedböjning LKC:b

Beräknad nedböjning av trafiklast får högst uppnå $L/300$ enligt [1] 4.3.3.2, då L är den teoretiska spänvidden för ett spann. Beräkning utförd med lastkombination LKC:b.

Tillåten nedböjning för ytterspan och innerspann:

$$z_{max} = \frac{20000}{300} \text{ eller } \frac{25000}{300} = 66,7 \text{ mm eller } 83,8 \text{ mm}$$

Nedböjning beräknad i Sofistik ger omkring 5 mm och 6 mm för $A=496 \text{ kN}$, 7 mm och 9 mm för $B=344$, för ytterspann och innerspann respektive. Numeriska snittkrafter presenteras i Bilaga 6.

